

■ Suma de Momentos Angulares

- Dos momentos spin 1/2

Sean dos estados de spin $1/2$

$$\vec{S} = \vec{S}_1 + \vec{S}_2 \equiv \vec{S}_1 \otimes \mathbb{1}_2 + \mathbb{1}_1 \otimes \vec{S}_2$$

↑
identidad en el
espacio 2

$$[S_{2i}, S_{2j}] = i \hbar \epsilon_{ijk} S_{2k}; \quad [S_{1i}, S_{2j}] = 0$$

en cada espacio valen las relaciones usuales de commutación

Un estado general es:

Hay cuatro estados

$$\left| \begin{array}{c} s_1 \\ \frac{1}{2}, \frac{1}{2} ; \frac{1}{2}, \frac{1}{2} \end{array} \right\rangle, \left| \begin{array}{c} s_2 \\ \frac{1}{2}, \frac{1}{2} ; \frac{1}{2}, -\frac{1}{2} \end{array} \right\rangle, \left| \begin{array}{c} m_1 \\ \frac{1}{2}, \frac{1}{2} ; -\frac{1}{2}, -\frac{1}{2} \end{array} \right\rangle, \left| \begin{array}{c} m_2 \\ \frac{1}{2}, \frac{1}{2} ; -\frac{1}{2}, \frac{1}{2} \end{array} \right\rangle \right\} \xleftarrow{\text{CCOC}} \boxed{s_1^z, s_2^z, s_{1z}, s_{2z}}$$

corresponden
a los
operadores
que comutaron

Podemos elegir otra base de operadores que comutan que será:
Entonces el estado general será:

$$S_1^z, S_2^z, S, S_z$$

Así tendremos:

	s_1	s_2	S	m	
triplet	$\left \frac{1}{2}, \frac{1}{2}; 1, 1 \right>$				$cc\bar{c}$
	$\left \frac{1}{2}, \frac{1}{2}; 1, 0 \right>$				
	$\left \frac{1}{2}, \frac{1}{2}; 1, -1 \right>$				
singlet	$\left \frac{1}{2}, \frac{1}{2}; 0, 0 \right>$				$m_1 + m_2 = m$
	s_1^z	s_2^z	S^z	s_z	$s_1 + s_2 = S$

$$S^2 = (S_1 + S_z)^2 = S_1^2 + S_z^2 + 2\vec{S}_1 \cdot \vec{S}_z$$

$$S_{zz}^2 = (S_{1z} + S_{2z})^2 = S_{1z}^2 + S_{2z}^2 + 2S_{1z} \cdot S_{2z}$$

Dada la repetición de s_1, s_2 se suelen identificar a las bases solamente. Además la base $\{|m_1, m_2\rangle\}$ se puede poner como $(+ \equiv +\frac{1}{2}), (- \equiv -\frac{1}{2})$

• Cambio entre bases

Podemos hallar a ojo que:

$$\bullet |++\rangle = |1,1\rangle$$

$$\bullet |--> = |1,-1>$$

La única forma de tener $m=1$ es con los dos spins up
 " " " " " $m=-1$ " " " " " down

Se hallan los otros con el operador de bajada $S_- \equiv S_1_- + S_2_-$

$$\underline{S_z} |++> = S_{1z}|++> + S_{2z}|++> = S_{1z} \otimes \mathbb{1}_{2z} |++> + \mathbb{1}_{1z} \otimes S_{2z} |++>$$

$$= \frac{\hbar}{2} |-+> + \frac{\hbar}{2} |+->$$

descompongo
S- en S_1, S_2 -
para operar en
 m_1, m_2

open S- Saber
S.m >

$$\bullet |10\rangle = \frac{1}{\sqrt{2}}(|-+\rangle + |+-\rangle)$$

Luego:

$$|\phi\rangle = |\alpha\rangle|+\rangle + |\beta\rangle|-\rangle$$

y puedo usar ortogonalidad

$$\langle 10|00 \rangle = 0 = \frac{a}{\sqrt{2}} + \frac{b}{\sqrt{2}}$$

$$\text{com } |a|^2 + |b|^2 = 1$$

$$\bullet |0\ 0\rangle = \frac{1}{\sqrt{2}} (|+\rightarrow -\leftarrow +\rangle)$$

■ Teoría Formal de Suma de Momentos Angulares

Sea de sumar dos momentos J_1, J_2

$$[J_{1i}, J_{1j}] = i\hbar \epsilon_{ijk} J_{1k}$$

$$[J_{2i}, J_{2j}] = i\hbar \epsilon_{ijk} J_{2k}$$

$$[J_{1k}, J_{2l}] = 0$$

Relaciones
de
comutación

$$\vec{J} = \vec{J}_1 \otimes \mathbb{1}_2 + \mathbb{1}_1 \otimes \vec{J}_2 = \vec{J}_1 + \vec{J}_2$$

$$[J_i, J_j] = i\hbar \epsilon_{ijk} J_k$$

El momento total \vec{J} cumple que:

$$J^2 = J_1^2 + J_2^2 + 2 J_1 \cdot J_2$$

$$J^2 = J_1^2 + J_2^2 + 2 J_{1z} J_{2z} + J_{1+} J_{2-} + J_{1-} J_{2+}$$

Vemos que $[J_1^2, J^2] = 0$; $[J_2, J^2] = 0$; $[J_2^2, J_{1\pm}] = 0$

pero $[J^2, J_{1\pm}] \neq 0$

Esto deja dos opciones para elegir un CCOC:

J_1, J_2, J_{1z}, J_{2z}	J_1^2, J_2^2, J^2, J_z
$ J_1, J_2; m_1, m_2\rangle$ base desacoplada	$ J_1, J_2; J, m\rangle$ base acoplada

Se puede pasar de una base a otra con una II apropiada:

$$|J_1, J_2; J, m\rangle = \sum_{m_1, m_2} |J_1, J_2; m_1, m_2\rangle \underbrace{\langle J_1, J_2; m_1, m_2 | J_1, J_2; J, m \rangle}_{= C_{m_1, m_2}^J}$$

$$1. |J_1, J_2; J, m\rangle = \sum_{m_1, m_2} C_{m_1, m_2}^J |J_1, J_2; m_1, m_2\rangle \quad -J_1 \leq m_1 \leq J_1 \\ -J_2 \leq m_2 \leq J_2$$

$$|J_1, J_2; m_1, m_2\rangle = \sum_{J, m} |J_1, J_2; J, m\rangle \underbrace{\langle J_1, J_2; J, m | J_1, J_2; m_1, m_2 \rangle}_{= C_{m_1, m_2}^J}$$

$$2. |J_1, J_2; m_1, m_2\rangle = \sum_{J, m} C_{m_1, m_2}^J |J_1, J_2; J, m\rangle \quad -J \leq m \leq J \\ \text{con } J \rightarrow \infty$$

Donde los C_{m_1, m_2}^J son los coeficientes de Clebsch-Gordan. En 2 la Σ sería en $J \rightarrow \infty$, pero veamos la relación que hace algunos $C_{m_1, m_2}^J = 0$. Ante todo, abreviaremos suprimiendo los índices J_1, J_2 , con lo cual:

$$C_{m_1, m_2}^j = \langle m_1, m_2 | j, m \rangle$$

- Restricciones para la no nulidad de los coeficientes

$$(J_z - J_{1z} - J_{2z}) |j, m\rangle = (m_1 - J_{1z} - J_{2z}) |j, m\rangle = 0 \Rightarrow$$

$$\langle m_1, m_2 | J_z - J_{1z} - J_{2z} | j, m \rangle = 0$$

$$\hbar(m - m_1 - m_2) \langle m_1, m_2 | j, m \rangle = 0 \Rightarrow$$

$$\langle m_1, m_2 | j, m \rangle \neq 0$$

$$\Leftrightarrow m = m_1 + m_2$$

A su vez, la suma de J_1 y J_2 resultan los j acotados por una desigualdad triangular

$$|j_1 - j_2| \leq j \leq j_1 + j_2$$

Asimismo los C_{m_1, m_2}^j se tornan reales $\Rightarrow C_{m_1, m_2}^{j*} = C_{m_1, m_2}^j$. Juntando todos se tiene

$$\langle m_1, m_2 | j, m \rangle \neq 0 \Leftrightarrow m = m_1 + m_2$$

$$\langle j, m | m_1, m_2 \rangle \quad |j_1 - j_2| \leq j \leq j_1 + j_2$$

Ambas bases tienen la misma dimensión:

$$\sum_{j=j_1-j_2}^{j_1+j_2} (2j+1) = (2j_1+1)(2j_2+1)$$

Recordemos que cada j tiene $2j+1$ estados posibles (los m correspondientes a cada j). Si sumamos $j_1=1, j_2=3/2$ tendremos:

$$\dim = 2 \oplus 4 \oplus 6 = 3 \otimes 4 = 12$$

$$j = 1/2, 3/2, 5/2$$

$$m_1 = -1, 0, 1$$

$$m = -5/2, -3/2, -1/2, 1/2, 3/2, 5/2$$

$$m_2 = -3/2, -1/2, 1/2, 3/2$$

Podemos ver a ojo que:

$$|j=5/2, m=5/2\rangle = |m_1=1, m_2=3/2\rangle$$

$$|j=5/2, m=-5/2\rangle = |m_1=-1, m_2=-3/2\rangle$$

Luego con el J_+, J_- podemos construirnos los siguientes (utilizando ortogonalidad)

$$\langle j' m' | j, m \rangle = \delta_{jj'} \delta_{m'm}$$

$$\sum_{m_1, m_2} \langle j' m' | m_1, m_2 \rangle \langle m_1, m_2 | j, m \rangle = \delta_{jj'} \delta_{m'm}$$

$$\sum_{m_1, m_2} \langle m_1, m_2 | j, m \rangle^2 = 1 \quad \text{ortogonalidad}$$

• Relación de Recurrencia

$$J_{\pm} |j, m\rangle = (J_{1\pm} + J_{2\pm}) \sum_{m'_1, m'_2} |m'_1, m'_2\rangle \langle m'_1, m'_2 | j, m \rangle$$

$$\sqrt{(j+m)(j+m+1)} |j, m\pm 1\rangle = \sum_{m'_1, m'_2} \langle m'_1, m'_2 | j, m \rangle (J_{1\pm} |m'_1, m'_2\rangle + J_{2\pm} |m'_1, m'_2\rangle)$$

mediante un bra $\langle m_1, m_2 |$ se llega a la relación de recurrencia:

$$\begin{aligned} \sqrt{(j+m)(j+m+1)} \langle m_1, m_2 | j, m \pm 1 \rangle = \\ \sqrt{(j_1+m_1+1)(j_1+m_1)} \langle m_1+1, m_2 | j, m \rangle + \\ \sqrt{(j_2+m_2+1)(j_2+m_2)} \langle m_1, m_2+1 | j, m \rangle \end{aligned}$$

• Suma de \vec{L} y \vec{S}

Sea sumar $\vec{L} + \vec{S} \rightarrow$

$j_1 = l$	$j_2 = s = \pm \frac{1}{2}$	$ l - \frac{1}{2} \leq j \leq l + \frac{1}{2}$
$m_1 = m_L$	$m_2 = m_S = \pm \frac{1}{2}$	$m = m_L \pm \frac{1}{2}$
		$m_L = m + \frac{1}{2}, m - \frac{1}{2}$
		$m_S = \frac{1}{2}, -\frac{1}{2}$

$$\dim = (2l+1) \otimes 2 = 4l+2$$

Hará solo cuatro $C_{m_1, m_2}^j \neq 0$ que serán:

$$\begin{aligned} & \langle m + \frac{1}{2}, -\frac{1}{2} | l - \frac{1}{2}, m \rangle \\ & \langle m + \frac{1}{2}, -\frac{1}{2} | l + \frac{1}{2}, m \rangle \\ & \langle m - \frac{1}{2}, +\frac{1}{2} | l - \frac{1}{2}, m \rangle \\ & \langle m - \frac{1}{2}, +\frac{1}{2} | l + \frac{1}{2}, m \rangle \end{aligned}$$

los coeficientes linkan solo los estados con $j = l - \frac{1}{2}, j = l + \frac{1}{2}$
Podemos construir una matriz de 2×2 para este caso

Esto torna práctico para acoplamiento spin-orbita.

$$\vec{L} \cdot \vec{S} = \frac{1}{2} (J^2 - L^2 - S^2)$$

$$\begin{aligned} \vec{L} \cdot \vec{S} |l, s; j, m\rangle &= \frac{1}{2} (j(j+1)\hbar^2 - l(l+1)\hbar^2 - s(s+\frac{1}{2})\hbar^2) |l, s; j, m\rangle \\ &= \frac{1}{2} (j(j+1) - l(l+1) - \frac{3}{4}) \hbar^2 |l, s; j, m\rangle \end{aligned}$$

$$\vec{L} \cdot \vec{S} |l, s; j, m\rangle = \begin{cases} \frac{l \hbar^2}{2} |l, s; j, m\rangle & \text{si } j = l + \frac{1}{2} \\ -\frac{(l+1) \hbar^2}{2} |l, s; j, m\rangle & \text{si } j = l - \frac{1}{2} \end{cases}$$

■ Operadores Vectoriales

Queremos analizar como transforma un operador vectorial \hat{V} bajo rotaciones en QM.
En mecánica clásica:

$$V_i = R_{ij} V_j$$

con R matriz ortogonal

En QM tenemos que al rotar

$$|\alpha\rangle_R = \mathcal{D}(R)|\alpha\rangle$$

Pediremos que $\langle V \rangle_\alpha$ transforme como un vector; entonces será:

$$\langle \alpha | V_i | \alpha \rangle_R = \langle \alpha | \mathcal{D}^+(R) V_i \mathcal{D}(R) | \alpha \rangle = R_{ij} \langle \alpha | V_j | \alpha \rangle$$

$$\boxed{\mathcal{D}^+(R) V_i \mathcal{D}(R) = R_{ij} V_j} \quad \textcircled{1}$$

Calculando la expresión anterior llegamos que debe valer:

$$[V_i, J_j] = ik \epsilon_{ijk} V_k \quad \leftarrow \begin{array}{l} \text{Un operador vectorial } \vec{V} \\ \text{transforma de esta manera} \end{array}$$

(Podemos probar un caso simple de una rot. infinitesimal en $\hat{\theta}$ y ver que vale)

■ Operadores Tensoriales

En mecánica clásica:

$$T_{ij} = R_{ii'} R_{jj'} T_{i'j'} \quad \leftarrow \begin{array}{l} \text{tensor de 2do rango} \\ (\text{dos índices}) \end{array}$$

Esto es un tensor cartesiano. Su problema es que no es IRREDUCIBLE, entonces puede descomponerse en objetos que transforman diferente ante rotaciones. Sea la diádica $U_i V_j$, tensor de rango dos, que puede escribirse como:

$$U_i V_j = \underbrace{\frac{\vec{U} \cdot \vec{V}}{3} \delta_{ij}}_{\substack{\text{escalar} \\ \text{no transforma}}} + \underbrace{\frac{1}{2} (U_i V_j - U_j V_i)}_{\substack{\text{tensor antisimétrico} \\ \text{transforma como } \vec{U} \times \vec{V}}} + \underbrace{\left[\frac{1}{2} (U_i V_j + U_j V_i) - \frac{\vec{U} \cdot \vec{V}}{3} \delta_{ij} \right]}_{\text{tensor simétrico con traza nula}}$$

Hemos reducido el tensor cartesiano en tensores irreducibles. Podemos asociar esta descomposición con las multiplicidades de objetos con momento angular $l=0, l=1, l=2$

escalar	\equiv	$l=0$	singlete	(1 elem. indep.)
vector	\equiv	$l=1$	triplete	(3 " "
tensor de traza nula	\equiv	$l=2$	quintuplete	(5 " "

Se define:

$$\boxed{T_q^{(k)}} \quad \text{tensor esférico de rango } k \text{ y } \# \text{ magnético } q$$

Un tensor esférico transforma como:

$$\boxed{\mathcal{D}(R) T_q^{(k)} \mathcal{D}^+(R) = \mathcal{D}_{qq'}^{(k)} T_{q'}^{(k)}} \quad (2)$$

Tendremos:

$$\begin{aligned} T_0^{(0)} & \quad (\text{escalar}) & \text{tensor esférico de rango 0 } (l=0) \\ (T_1^{(1)}, T_0^{(1)}, T_{-1}^{(1)}) & \quad (\text{vector}) & \text{tensor esférico de rango 1 } (l=1) \end{aligned}$$

En muchos casos se puede escribir un tensor esférico como armónico esférico

$$Y_e^m(\theta, \phi) = Y_e^m(\hat{n}) \Rightarrow \hat{n} \rightarrow \vec{v} \quad Y_e^m(\vec{v}) = \boxed{Y_k^q(\vec{v}) \rightarrow T_q^{(k)}}$$

$$\hat{n} = (n_x, n_y, n_z) = \left(\frac{x}{r}, \frac{y}{r}, \frac{z}{r} \right) \rightarrow \vec{v} = (r n_x, r n_y, r n_z)$$

$$\hat{n} = (\cos \phi \cdot \sin \theta, \sin \phi \cdot \sin \theta, \cos \theta)$$

$$Y_1^0 = \sqrt{\frac{3}{4\pi}} n_z \rightarrow T_0^{(1)} = \sqrt{\frac{3}{4\pi}} V_z$$

$$Y_1^{\pm 1} = \mp \sqrt{\frac{3}{4\pi}} \frac{n_x \pm i n_y}{\sqrt{2}} \rightarrow T_{\pm 1}^{(1)} = \mp \sqrt{\frac{3}{4\pi}} \frac{1}{\sqrt{2}} \cdot (V_x \pm i V_y)$$

Calculando en (2), cosa que podemos hacer para - por ej. - una rotación infinitesimal, llegamos a las relaciones de commutación para tensores.

$$[J_z, T_q^{(k)}] = \hbar q T_q^{(k)}$$

$$[J_{\pm}, T_q^{(k)}] = \hbar \sqrt{(k+q)(k+q+1)} T_{q\pm 1}^{(k)}$$

■ Teorema de Wigner-Eckart

Es importante para el cálculo de transiciones evaluar elementos de matriz de operadores tensoriales.

Los elementos matriciales de operadores tensoriales respecto de autovectores de momento satisface:

$$\langle \alpha', j, m' | T_q^{(k)} | \alpha, j, m \rangle = \underbrace{\langle j, k; m, q | j, k; j, m' \rangle}_{\text{coeficiente de Clebsh-Gordan}} \cdot \frac{\langle \alpha' j' || T^{(k)} || \alpha j \rangle}{(2j+1)}$$

un coeficiente que no depende de q, m, m'

coeficiente de Clebsh-Gordan de sumar momentos j, k con $\begin{cases} m_1 = m \\ m_2 = q \\ m_1 + m_2 = m' \end{cases}$

- regla de selección

$$\langle \alpha' j' m' | [J_z, T_q^{(k)}] - \hbar q T_q^{(k)} | \alpha, j, m \rangle = \langle [J_z T_q^k - T_q^k J_z] - \hbar q T_q^k | \alpha, j, m \rangle$$

$$\begin{aligned} \langle \alpha' j' m' | 0 | \alpha, j, m \rangle &= (\hbar m' - \hbar m - \hbar q) \langle \alpha' j' m' | T_q^{(k)} | \alpha, j, m \rangle \\ 0 &= \hbar (m' - m - q) \langle \alpha' j' m' | T_q^{(k)} | \alpha, j, m \rangle \end{aligned}$$

$$\text{si } m' \neq m + q \rightarrow \langle \alpha' j' m' | T_q^{(k)} | \alpha, j, m \rangle = 0$$

- idea demostración del teorema

$$\langle \alpha' j' m' | [J_{\pm}, T_q^{(k)}] | \alpha, j, m \rangle = \hbar \sqrt{(k+q)(k+q+1)} \langle \alpha' j' m' | T_{q\pm 1}^{(k)} | \alpha, j, m \rangle \Rightarrow$$

$$\begin{aligned} \sqrt{(j' \mp m') (j' \mp m' + 1)} &\times \langle \alpha' j' m' \mp 1 | T_q^{(k)} | \alpha, j, m \rangle - \sqrt{(j \mp m) (j \mp m + 1)} \times \langle \alpha' j' m' | T_q^{(k)} | \alpha, j, m \mp 1 \rangle \\ &= \sqrt{(k+q)(k+q+1)} \times \langle \alpha' j' m' | T_{q\pm 1}^{(k)} | \alpha, j, m \rangle \end{aligned}$$

Es la misma relación de recurrencia que la de los coeficientes de Clebsh-Gordan; si reemplazamos

$$m' = m \quad j = j_1 \quad m = m_1$$

$$j' = j \quad k = j_2 \quad q = m_2$$

Como ambas relaciones son lineales, sus resultados serán proporcionales.
Se puede asociar:

$$\langle j_1, j_2; m_1, m_2 \mp 1 | j_1, j_2; j, m \rangle \propto \langle \alpha' j' m' | T_{q\pm 1}^{(k)} | \alpha, j, m \rangle$$

$$\langle j, k; m, q \mp 1 | j, k; j, m' \rangle \propto \langle \alpha' j' m' | T_{q\pm 1}^{(k)} | \alpha, j, m \rangle$$

Logramos la igualdad metiendo una constante independiente de m', q, m .

- Reglas de Selección

Como se tiene a $\langle T_q^{(k)} | \rangle$ o coeficientes de Clebsh-Gordan, serán válidas las mismas reglas de selección.

$$m' = m + q$$

$$|j-k| \leq j' \leq j+k$$

■ Ejemplos de Elementos Matriciales de Tensores

Sea un escalar (tensor de rango cero):

$$\langle \alpha' j' m' | T^{(0)} | \alpha j m \rangle = \alpha \langle j_0; m_0 | j_0; j' m' \rangle = \delta_{j'j} \delta_{m'm}$$

$$\begin{matrix} q=0 \\ k=0 \end{matrix}$$

$$m+q=m' \rightarrow m=m'$$

$$|j_0-j| \leq j' \leq j_0 \rightarrow$$

$$j=j'$$

No varían
j, m en
los estados
No conecta estados
con j, m diferentes
un escalar

Sea un vector (tensor de rango uno):

$$\langle \alpha' j' m' | T_q^{(1)} | \alpha j m \rangle = \alpha \langle j_1; m_1 | j_1; j' m' \rangle$$

$$\begin{matrix} q=1, 0, -1 \\ k=1 \end{matrix}$$

$$m+\begin{cases} 1 \\ 0 \\ -1 \end{cases} = m'$$

$$\rightarrow m-m' = \begin{cases} 1 \\ 0 \\ -1 \end{cases}$$

$$|j_1-1| \leq j' \leq j_1+1$$

$$-1 \leq j'-j_1 \leq 1$$

$$\rightarrow j-j_1 = \begin{cases} 1 \\ 0 \\ -1 \end{cases}$$

Conecta
estados q que
están separados
por un "j" y un
"m"

■ Teorema de Proyección

Consideremos lo que sucede en el teorema de Wigner-Eckart si $j=j'$ y se lo aplicamos a un operador vectorial $T_q^{(k=1)} = V_q$

$$\langle \alpha' j' m' | V_q | \alpha j m \rangle = \frac{\langle \alpha' j' m' | \vec{J} \cdot \vec{V} | \alpha j m \rangle}{\hbar^2 j(j+1)} \langle j' m' | J_q | j m \rangle$$

Como caso especial, si $\alpha'=\alpha$ [estoy en un subespacio donde coinciden los # cuánticos] se tiene:

$$\vec{V} = \frac{\langle \vec{J} \cdot \vec{V} \rangle}{\hbar^2 j(j+1)} \vec{J}$$

• Aplicación del Teorema de Proyección

Sea un H_0 esféricamente simétrico $[H_0, \vec{J}] = 0$, $\vec{J} = \vec{L} + \vec{S}$

$$H_0 = \frac{p^2}{2m} + \frac{e}{r}$$

$$\frac{|E, l, s, j, m\rangle}{\hbar^2 L^2 S^2 (l+s)^2} \frac{1}{J_z^2} \quad \begin{matrix} \nearrow E, l, s, j, m \\ \searrow H \end{matrix}$$

$2j+1$ degenerados

CCOC: H, L^2, S^2, J^2, J_z

Si le meto un campo B en \hat{z} tendré:

$$H = H_0 + H_1 = H_0 - \frac{\mu_0 B}{\hbar} (L_z + 2S_z)$$

Esto debería romper la degeneración

$$L_z + 2S_z = \frac{\langle \vec{J} \cdot [\vec{J}] \rangle}{\hbar^2 (j+1) j} J_z + 2 \frac{\langle \vec{J} \cdot \vec{S} \rangle}{\hbar^2 (j+1) j} J_z$$

Pero no puedo poner este nuevo operador, que mete el campo B , en el CCOC directamente \Rightarrow uso teorema de proyección.

$$\vec{J} \cdot \vec{L} = L^2 + \frac{1}{2} (J^2 - L^2 - S^2)$$

$$\vec{J} \cdot \vec{S} = S^2 + \frac{1}{2} (J^2 - L^2 - S^2)$$

Entonces tengo todo expresado en función de J_z que sí forma parte de mi CCOC

■ Simetrías en Mecánica Cuántica

En mecánica clásica tenemos el teorema de Noether:

$$\frac{\partial \mathcal{L}}{\partial q_i} = 0 \rightarrow \frac{d}{dt} \left(\frac{\partial \mathcal{L}}{\partial \dot{q}_i} \right) = \frac{d}{dt} (P_i) = 0 \Rightarrow P_i = \text{constante}$$

H, \mathcal{L} no cambian con la transformación $q_i \rightarrow q_i + \delta q_i$

$$\frac{\partial H}{\partial q_i} = 0 \rightarrow \frac{d}{dt} (P_i) = 0 \Rightarrow P_i \text{ constante}$$

En mecánica cuántica definiremos un operador unitario $\$$ asociado a traslación/rotación. Pensemos en una transformación infinitesimal dada por $\$$

$$\$ = \mathbb{1} - i \frac{G}{\hbar}, \quad G = \text{generador hermítico}$$

Sea el H invariante frente a $\$ \Rightarrow$

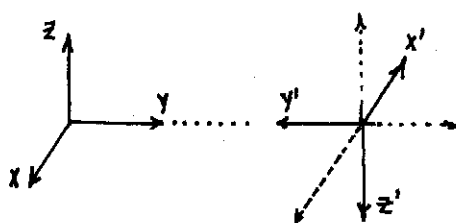
$$\$^+ H \$ = H \Rightarrow [H, \$] = 0 \Rightarrow [H, G] = 0 \Rightarrow \frac{dG}{dt} = 0 \Rightarrow G \text{ es constante de movimiento}$$

Esto significa que el autovalor no varía con el tiempo. Como $[H, G] = 0$ se tiene

- si no hay degeneración: $G|n\rangle = k|n\rangle$ pues $H(G|n\rangle) = E_n(G|n\rangle)$
- invariancia frente $G = \vec{p}$ invariancia frente $G = \vec{J}$
a traslaciones a rotaciones

■ Simetría de Paridad

Transforma RHS en LHS. Es decir que hace:



Solicitaremos un operador unitario llamado paridad que verifique:

$$|\alpha\rangle \xrightarrow{\Pi} \Pi |\alpha\rangle = |\alpha'\rangle$$

Querremos que refleje el $\langle \hat{x} \rangle$

$$\langle \alpha' | \hat{x} | \alpha' \rangle = - \langle \alpha | \hat{x} | \alpha \rangle$$

$$\langle \alpha | \Pi^+ \hat{x} \Pi | \alpha \rangle = - \langle \alpha | \hat{x} | \alpha \rangle \Rightarrow$$

$$\Pi^+ \hat{x} \Pi = - \hat{x}$$

$$\{\hat{x}, \Pi\} = 0$$

Anticommute con \hat{x}

Debido a ello:

$$\Pi | \hat{x}' \rangle = | -\hat{x}' \rangle$$

$$\Pi^2 \equiv \mathbb{1}$$

autovalores ± 1
 Π unitario y hermítico

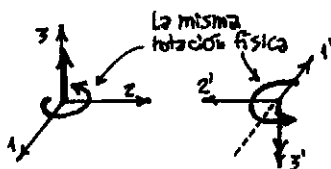
Como \hat{x} no depende del tiempo

$$\Pi^+ \vec{p} \Pi = \Pi^+ \frac{d}{dt} \hat{x} \Pi = \frac{d}{dt} (\Pi^+ \hat{x} \Pi) = \frac{d}{dt} (-\hat{x}) \Rightarrow$$

$$\{\vec{p}, \Pi\} = 0$$

Anticommute con \vec{p}

\hat{x}, \vec{p} son operadores impares. En cambio $\vec{L} = \hat{x} \wedge \vec{p}$ es un operador par \Rightarrow



$$\begin{aligned} 1 \times 2 &= 3 \\ 1 \times 2 &= 3 \\ \text{for } &\hat{x} \wedge \vec{p} = \vec{L} \\ \text{por } &\text{RHS} \rightarrow \text{LHS} \end{aligned}$$

$$[\vec{L}, \Pi] = 0$$

$$[\vec{J}, \Pi] = 0$$

Que commuta con \hat{J} puede verse de pedirte que:

$$[\pi, \hat{J}(R)] = 0 \Rightarrow [\pi, \hat{J}] = 0$$

, cosa que vale en mecánica clásica $\rightarrow R^{(\text{paridad})} R^{(\text{rotación})} = R^{(\text{rotación})} R^{(\text{paridad})}$

$\pi^+ \square \pi^-$	$= \begin{cases} +\vec{x} & \text{par} \\ -\vec{x} & \text{impar} \end{cases}$	(pseudovector) vector axial
$\pi^+ \square \pi^-$	$= \begin{cases} +\square & \text{par} \\ -\square & \text{impar} \end{cases}$	escalar pseudoscalar

$$\pi^+ \vec{s} \cdot \vec{x} \pi^- = \pi^+ s \pi^- \pi^+ \vec{x} \pi^-$$

$$\pi^+ \vec{s} \cdot \vec{x} \pi^- = \vec{s} \cdot (-\vec{x}) = -\vec{s} \cdot \vec{x}$$

$\vec{s} \cdot \vec{x}$ pseudoscalar

• función de onda bajo paridad

$$\psi_\alpha(x') = \langle x' | \alpha \rangle$$

$$\psi_\alpha(x') = \langle x' | \pi | \alpha \rangle = \langle x' | \alpha' \rangle = \langle -x' | \alpha \rangle \Rightarrow$$

$$\psi_{\alpha'}(x') = \psi_\alpha(-x')$$

$$\psi_\alpha(x') \xrightarrow{\pi} \psi_\alpha(-x')$$

funciónde onda de un estado al que se le aplicó paridad

Sea $|\alpha\rangle$ autoestado de paridad $\rightarrow \pi|\alpha\rangle = \pm|\alpha\rangle$ (los autovalores serán ± 1)

$$\langle x' | \alpha' \rangle = \pm \langle x' | \alpha \rangle = \langle -x' | \alpha \rangle$$

$$\boxed{\psi_\alpha(-x') = \begin{cases} +\psi_\alpha(x') & \text{función de onda par} \\ -\psi_\alpha(x') & \text{función de onda impar} \end{cases}}$$

$$\vec{x} \rightarrow -\vec{x} \Rightarrow \begin{aligned} r &\rightarrow r \\ \theta &\rightarrow \pi - \theta \\ \phi &\rightarrow \phi + \pi \end{aligned}$$

No toda función de onda tiene paridad bien definida

$$\langle x' | \alpha, l, m \rangle = R_\alpha(r) Y_l^m(\theta, \phi) \Rightarrow \text{con } \vec{x} \rightarrow -\vec{x} \text{ será}$$

$$Y_l^m(\pi - \theta, \phi + \pi) = (-1)^l Y_l^m(\theta, \phi)$$

$$\pi |\alpha, l, m \rangle = (-1)^l |\alpha, l, m \rangle$$

• Teorema

Sea $[H, \pi] = 0$ y $|n\rangle$ autoestados no degenerados de H
 $\Rightarrow |n\rangle$ es autoestado de π

• demostración $(\frac{1}{2} \pm \frac{\pi}{2}) |n\rangle = (\frac{\pi \pm \pi}{2}) |n\rangle = \pi \cdot (\frac{\pm 1 + \pi}{2}) |n\rangle = \pm \pi (\frac{1 \pm \pi}{2}) |n\rangle \rightarrow$ es autoestado de paridad con autovalor ± 1

$$H \frac{1}{2} (1 \pm \pi) |n\rangle = \frac{1}{2} E_n |n\rangle \pm \frac{E_n}{2} \pi |n\rangle = E_n \left[\frac{1 \pm \pi}{2} |n\rangle \right] \rightarrow \text{es autoestado de } H$$

$$\Rightarrow \left(\frac{1 \pm \pi}{2} \right) |n\rangle = |n\rangle \Rightarrow |n\rangle \text{ es autoestado de paridad}$$

$$\frac{1}{2} |n\rangle \pm \frac{\pi}{2} |n\rangle = |n\rangle$$

$$\frac{\pm \pi}{2} |n\rangle = \pm \frac{|n\rangle}{2} \rightarrow \pi |n\rangle = \pm |n\rangle$$

• Caso donde falla el teorema

$$[H, \pi] = 0 \text{ con } H = \frac{p^2}{2m} \text{ pero } |p'\rangle \text{ no}$$

es autoestado de π por la degeneración $|p'\rangle, |-p'\rangle$ son ambos correspondientes al autovalor $\frac{p'^2}{2m}$.

$$\frac{p'^2}{2m} |p'\rangle = \frac{p^2}{2m} |p'\rangle$$

$$\frac{p'^2}{2m} |-p'\rangle = \frac{p^2}{2m} |-p'\rangle$$

$$\pi |p'\rangle = |p'\rangle, |p'\rangle \text{ no es autoestado de } \pi$$

■ Reglas de Selección de Paridad II

Sean $|\alpha\rangle, |\beta\rangle$ autoestados de paridad

$$\pi|\alpha\rangle = \epsilon_\alpha|\alpha\rangle, \pi|\beta\rangle = \epsilon_\beta|\beta\rangle \Rightarrow$$

$$\begin{aligned} \langle\beta|\vec{\square}|\alpha\rangle &= \underbrace{\langle\beta|\pi^+\vec{\square}\pi^+|\alpha\rangle}_{\substack{\text{impar} \\ \text{par}}} = -\epsilon_\alpha\epsilon_\beta\langle\beta|\vec{\square}|\alpha\rangle \\ &\quad + \langle\beta|\pi^+\vec{\square}\pi^+|\alpha\rangle = +\epsilon_\alpha\epsilon_\beta\langle\beta|\vec{\square}|\alpha\rangle \end{aligned}$$

Si el operador $\vec{\square}$ es impar (como \vec{x}, \vec{p}) $\Rightarrow \epsilon_\alpha = 1, \epsilon_\beta = -1$ ó bien $\epsilon_\alpha = -1, \epsilon_\beta = 1$

- Operadores impares solo conectan estados de paridad opuesta

Si el operador $\vec{\square}$ es par (como \vec{L}, \vec{S}) $\Rightarrow \epsilon_\alpha = 1, \epsilon_\beta = 1$ ó $\epsilon_\alpha = -1, \epsilon_\beta = -1$

- Operadores pares solo conectan estados de la misma paridad

$$\langle\beta|\vec{x}|\alpha\rangle = 0 \rightarrow \iint dx' dx'' \langle\beta|x''\rangle \underbrace{\langle x''|\vec{x}|x'\rangle}_{x' \neq x''} \langle x'| \alpha\rangle = 0$$

$$\int_{-\infty}^{+\infty} dx' \langle\beta|x'\rangle x' \langle x'| \alpha\rangle = \int_{-\infty}^{+\infty} dx' \Psi_\beta^*(x') x' \Psi_\alpha(x')$$

■ Inversión Temporal [Reversión de Movimiento]

En mecánica clásica seña "pasar la película hacia atrás". En sistemas sin fuerzas dissipativas se tiene:

$t \rightarrow -t$

$$\begin{aligned} m\ddot{x} &= -\frac{d}{dx}V(x) \quad \text{y} \quad x(t) \quad x(-t) \quad \text{son soluciones de } \vec{F} = m\vec{a} \quad \text{pues} \\ t \rightarrow -t \Rightarrow m\ddot{x} &= -\frac{d}{dx}V(x) \quad \frac{d^2x(t)}{dt^2} = \frac{d^2x(-t)}{dt^2} \end{aligned}$$

En mecánica cuántica tendremos:

$$i\hbar \frac{\partial \Psi(x,t)}{\partial t} = \left(-\frac{\hbar^2}{2m} \nabla^2 + V \right) \Psi(x,t)$$

$t \rightarrow -t$

$$i\hbar \frac{\partial \Psi(x,-t)}{\partial t} = -i\hbar \frac{\partial \Psi(x,t)}{\partial t} = -\left[\left(-\frac{\hbar^2}{2m} \nabla^2 + V \right) \Psi(x,t) \right] \Rightarrow \Psi(x,-t) \text{ NO es solución de Schrödinger}$$

Pero notemos que $\Psi^*(x,-t)$ cumple la ecuación de Schrödinger

$$i\hbar \frac{\partial \Psi^*(x,t)}{\partial t} = -i\hbar \frac{\partial \Psi^*(x,t)}{\partial t} =$$

Entonces necesitaremos un operador que respete ésta característica. Necesitaré el producto interno conjugado

$$\Psi_\alpha(x) = \langle x' | \alpha \rangle$$

$$\Psi_\alpha^*(x) = \langle x' | \alpha^* \rangle = \langle \alpha | x' \rangle$$

El operador involucrado no será unitario.

$$|\tilde{\alpha}\rangle = \hat{\Theta} |\alpha\rangle, |\tilde{\beta}\rangle = \hat{\Theta} |\beta\rangle$$

Sí es $\hat{\Theta}$ unitario se conserva el producto interno:

$$\langle \tilde{\beta} | \tilde{\alpha} \rangle = \langle \beta | \hat{\Theta}^+ \hat{\Theta} | \alpha \rangle = \langle \beta | \mathbb{I} | \alpha \rangle = \langle \beta | \alpha \rangle$$

Pediremos antiuinarietad y antilinealidad al operador $\hat{\Theta}$

- $\langle \tilde{\beta} | \tilde{\alpha} \rangle = \langle \beta | \alpha \rangle^*$ ← antiuinarietad

- $\hat{\Theta}[c_\alpha |\alpha\rangle + c_\beta |\beta\rangle] = c_\alpha^* \hat{\Theta} |\alpha\rangle + c_\beta^* \hat{\Theta} |\beta\rangle$ ← antilinealidad

Todo operador antiuinario y antilineal puede escribirse como producto

$$\hat{\Theta} = U K \quad \text{donde } U \text{ es unitario, } K \text{ es la conjugación } C$$

K no cambia los autoestados, porque en base canónica un autoestado tiene un solo elemento (1) que no es nulo.

$$K(c|\alpha\rangle) = c^* K|\alpha\rangle = c^* K \left(\sum_a |a'\rangle \langle a' | \alpha \rangle \right) = c^* \sum_a \langle a' | \alpha \rangle^* K|a'\rangle$$

$$= c^* \sum_a \langle a' | \alpha \rangle^* |a'\rangle$$

Veamos que $U.K$ es antiuinario

$$|\tilde{\alpha}\rangle = UK|\alpha\rangle = \sum_{a''} \langle a' | \alpha \rangle^* U|a'\rangle$$

$$|\tilde{\beta}\rangle = UK|\beta\rangle = \sum_{a''} \langle a'' | \beta \rangle^* U|a'\rangle$$

$$\langle \tilde{\beta} | = \sum_{a''} (\langle a'' | \beta \rangle) \langle a'' | U^+ \Rightarrow$$

$$\langle \tilde{\beta} | \tilde{\alpha} \rangle = \left(\sum_{a''} (\langle a'' | \beta \rangle \langle a'' | U^+) \left(\sum_{a'} \langle a' | \alpha \rangle^* U|a'\rangle \right) \right) = \sum_{a''} \langle a'' | \beta \rangle \langle a'' | \alpha \rangle^* \underbrace{\langle a'' | U^+ U | a'\rangle}_{\delta_{a'' a'}}$$

$$= \sum_{a'} \langle a' | \beta \rangle \langle a' | \alpha \rangle^* = \sum_a \langle \beta | a' \rangle^* \langle a' | \alpha \rangle = \langle \beta | \alpha \rangle^* \Rightarrow \text{Es } U.K \text{ antiuinario}$$

Notemos que: NO SE DEFINE $\hat{\Theta}^+$ actuando sobre bras. La demostración anterior esperó a quitarse de encima \hat{K} para hacer dual conjugado al $|\tilde{\beta}\rangle$.

Operadores ante $\hat{\Theta}$

Usaremos la notación

$$|\tilde{\alpha}\rangle = \hat{\Theta}|\alpha\rangle$$

Señal razonable esperar que:

$$\langle \tilde{\alpha} | \tilde{\beta} | \tilde{\alpha} \rangle = - \langle \alpha | \tilde{\beta} | \alpha \rangle$$

$$\langle \alpha | \tilde{\beta} | \tilde{\alpha} \rangle = \langle \alpha | \tilde{\beta} | \alpha \rangle$$

Sea $\hat{\Theta}$ un operador hermítico

$$\langle \alpha | \hat{\Theta} | \alpha \rangle = \langle \alpha | \gamma \rangle \rightarrow \begin{cases} \langle \tilde{\alpha} | \tilde{\gamma} \rangle^* = \langle \alpha | \gamma \rangle \Rightarrow \langle \tilde{\alpha} | \tilde{\gamma} \rangle = \langle \gamma | \alpha \rangle \\ \langle \tilde{\alpha} | \hat{\Theta} | \gamma \rangle = \langle \tilde{\alpha} | \hat{\Theta} \hat{\Theta}^{-1} | \gamma \rangle \end{cases}$$

Luego metemos un $\hat{\Theta}^{-1} \hat{\Theta} = \mathbb{I}$

$$\langle \tilde{\alpha} | \hat{\Theta} \hat{\Theta}^{-1} \hat{\Theta} | \alpha \rangle = \langle \tilde{\alpha} | \hat{\Theta} | \alpha \rangle = \langle \alpha | \hat{\Theta} | \alpha \rangle$$

Notemos que no se aplica $\hat{\Theta}$ sobre bra alguno y tenemos $\hat{\Theta}$ no unitario. Entonces requeriremos:

$$\begin{aligned} \hat{\Theta} \hat{P} \hat{\Theta}^{-1} &= -\hat{P} \\ \hat{\Theta} \hat{J} \hat{\Theta}^{-1} &= -\hat{J} \\ \hat{\Theta} \hat{X} \hat{\Theta}^{-1} &= \hat{X} \end{aligned} \quad \Rightarrow \quad \hat{\Theta} \hat{P} = -\hat{P} \hat{\Theta} \Rightarrow \quad \{\hat{\Theta}, \hat{P}\} = 0$$

$$\hat{\Theta} \hat{J} = -\hat{J} \hat{\Theta} \Rightarrow \quad \{\hat{\Theta}, \hat{J}\} = 0$$

$$\hat{\Theta} \hat{X} = \hat{X} \hat{\Theta} \Rightarrow \quad \{\hat{\Theta}, \hat{X}\} = 0$$

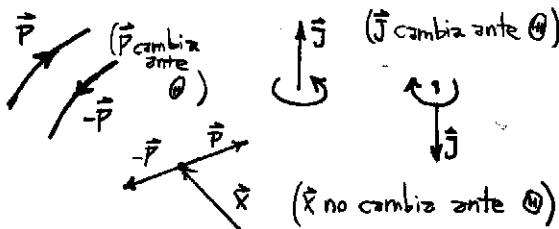
\hat{P}, \hat{J} operadores impares

\hat{X} operador par

Los operadores pares comutan con $\hat{\Theta}$

$$\begin{aligned} \Theta |\vec{x}\rangle &= |\vec{x}'\rangle \\ \Theta |\vec{p}\rangle &= |\vec{p}'\rangle \end{aligned}$$

Interpretación Pictórica:



- Hamiltoniano ante reversión de movimiento
Veamos la reversión de un sistema en estado $|\alpha\rangle$

$$|\alpha, t = \delta t\rangle = (\mathbb{I} - i \frac{\delta t H}{\hbar}) |\alpha\rangle$$

Si el hamiltoniano es invariante ante reversión temporal debería ser lo mismo:

Estamos pidiendo que se obtenga el mismo estado:

- si revertimos el movimiento y evolucionamos en δt
- si evolucionamos hacia atrás ($-\delta t$) y revertimos el movimiento

$$U \Theta |\alpha\rangle = \Theta U |\alpha\rangle$$

Veamos que esto vale

$$(1 - i \frac{\delta t H}{\hbar}) \Theta |\alpha\rangle = \Theta \left(1 + i \frac{\delta t H}{\hbar} \right) |\alpha\rangle$$

$$-i \frac{\delta t}{\hbar} H \Theta |\alpha\rangle = \Theta i \frac{\delta t}{\hbar} H |\alpha\rangle$$

$$-i H \Theta |\alpha\rangle = \Theta (-i H |\alpha\rangle)$$

$$[H, \Theta] = 0$$

La conjugación y se simplifica

Si Θ era unitario tendríamos la relación de anticomutación $\{H, \Theta\} = 0$ lo cual lleva a absurdos.

Si $\{H, \Theta\} = 0 \rightarrow$
 $\Theta \frac{p^2}{2m} \Theta = -\frac{p^2}{2m} < 0$ partícula libre con energía negativa] \Rightarrow H debe ser par frente a Θ

• función de onda
Sea en $t=0$ un sistema en el estado $|\alpha\rangle$

$$|\alpha\rangle = \int dx' \langle x' | \alpha \rangle |x'\rangle$$

$$\Theta |\alpha\rangle = \int dx' \langle x' | \alpha^* \Theta |x'\rangle = \int dx' \langle x' | \alpha^* \Theta |x'\rangle \Rightarrow$$

$$\Psi_\alpha(x') \xrightarrow{\Theta} \Psi_\alpha^*(x')$$

Esto era lo que "vimos" en la ecuación de Schrödinger

• Reversión de Movimiento sobre \hat{j}

$\Theta |\hat{j}\rangle$ no tiene sentido porque J_x, J_y, J_z no commutan entre ellos. Analizaremos $|l, m\rangle$

$$Y_l^m(\theta, \phi) \xrightarrow{\Theta} Y_l^{-m}(\theta, \phi) = Y_l^m(\theta, \phi) \cdot (-1)^m$$

$$\Theta |l, m\rangle \equiv (-1)^m |l, -m\rangle$$

Lo que hace Θ es invertir la componente de \hat{z} y alterar la fase. Se ve que $\Theta^2 = \mathbb{I}$

• Reversión para sistemas de spin 1/2

Sea un estado general up de spin $|\hat{n}_z, +\rangle \leftarrow$ se obtiene con dos rotaciones,

$$\hat{S}_z \hat{n}_z |\hat{n}_z, +\rangle = \frac{1}{2} |\hat{n}_z, +\rangle \Rightarrow e^{-i \frac{\alpha}{\hbar} S_z} e^{-i \frac{\beta}{\hbar} S_y} |+\rangle = |\hat{n}_z, +\rangle$$

$$\Theta | \hat{n} \rangle = e^{-i \frac{\alpha}{\hbar} S_z} e^{-i \frac{\beta}{\hbar} S_y} |\ + \rangle = e^{-i \frac{\alpha}{\hbar} S_z} e^{-i \frac{\beta}{\hbar} S_y} \gamma | - \rangle =$$

$$\Theta | \hat{n} \rangle = \gamma | \hat{n} \rangle$$

pero $| \hat{n} \rangle = e^{-i \frac{\alpha}{\hbar} S_z} e^{-i \frac{(\pi+\theta)}{\hbar} S_y} | + \rangle$ dado que $e^{-i \frac{\pi}{\hbar} S_y} | + \rangle = | - \rangle$

$$\Theta | \hat{n} \rangle = \gamma e^{-i \frac{\alpha}{\hbar} S_z} e^{-i \frac{\beta}{\hbar} S_y} e^{-i \frac{\pi}{\hbar} S_y} | + \rangle$$

$$\begin{aligned} \Theta | + \rangle &= \gamma | + \rangle \\ \Theta | - \rangle &= \gamma (-| + \rangle) \end{aligned}$$

$$\boxed{\Theta = \gamma \cdot e^{-i \frac{\pi}{\hbar} S_y}} \quad \leftarrow \text{Para sistemas de spin } 1/2$$

$$\Theta^2 = -1$$

$$\begin{aligned} \Theta (c_+ | + \rangle + c_- | - \rangle) &= \Theta (c_+^* \gamma | + \rangle - c_-^* \gamma | - \rangle) = -c_+ \gamma | + \rangle - c_- \gamma | - \rangle \\ &= - (c_+ | + \rangle + c_- | - \rangle) \end{aligned}$$

$$\boxed{\Theta | j, m \rangle = i^{2m} | j, -m \rangle = (-1)^m | j, -m \rangle}$$

* J anterior es
sentíentro

■ Teorema

Sea H invariante ante Θ y los $| n \rangle$ no degenerados \Rightarrow la autofunción de energía. Puede hacerse real tomando una fase apropiada.

• demostración:

$$H \Theta | n \rangle = \Theta H | n \rangle = \Theta E_n | n \rangle = E_n (\Theta | n \rangle) \rightarrow \Theta | n \rangle = \xi | n \rangle$$

$$\Psi_n = \langle \hat{x} | n \rangle \Rightarrow \Psi_n^*(\hat{x}) = \langle \hat{x} | \hat{n} \rangle = \langle n | \hat{x} \rangle = \Psi_n^*(\hat{x}) \quad (\text{Esto por ser } \Theta \text{ antifunitario})$$

$$\Psi_n^{(\Theta)} = \langle \hat{x} | \Theta | n \rangle = \xi \langle \hat{x} | n \rangle = \xi \Psi_n(\hat{x}) \quad \text{sea } \xi = 1 \Rightarrow \Psi_n^* = \Psi_n \rightarrow \Psi_n(\hat{x}) \in \mathbb{R}$$

■

Llamando x entre variables $\rightarrow \langle \hat{x}_1, \hat{x}_2 | \dots \rangle = 0$

$$\rightarrow [x_1, x_2] = 0$$

$$[x_1, x_2^*] = 0$$

$$[x_1, x_2] = 0$$

Si se aplica el sistema transformaciones dados por operadores que comuten con el H no lo sacamos del subsistema en que se encuentra el paso del tiempo.

En ese sistema solo será razonable medir variables representadas por esos operadores; puesto que de lo contrario estamos alterando el sistema y nos es imposible saber donde ha quedado.

■ Métodos Perturbativos

$$H = H_0 + \lambda V$$

$$\lambda \ll 1$$

λ es parámetro para controlar la perturbación

con $H_0 |n^{(0)}\rangle = E_n^{(0)} |n^{(0)}\rangle$ (el problema sin perturbar)

$$H |n(\lambda)\rangle = E_n(\lambda) |n(\lambda)\rangle$$

← Esta sería la solución exacta

Como esto es bastante complicado podemos desarrollar en serie

$$E_n(\lambda) \approx E_n^0 + \lambda E_n^1 + \lambda^2 E_n^2$$

$$|n(\lambda)\rangle \approx |0_n\rangle + \lambda |1_n\rangle + \lambda^2 |2_n\rangle$$

n = autoestado correspondiente
 $(0), (1), (2)$ = órdenes del desarrollo perturbativo

$$(H_0 + \lambda V) \left[\sum_{i=0}^{\infty} \lambda^i |i_n\rangle \right] = \left(\sum_{j=0}^{\infty} \lambda^j E_n^{(j)} \right) \left(\sum_{i=0}^{\infty} \lambda^i |i_n\rangle \right)$$

$$\sum_{i=0}^{\infty} H_0 \lambda^i |i_n\rangle + \lambda V \lambda^i |i_n\rangle = \sum_{i,j} \lambda^j E_n^{(j)} \lambda^i |i_n\rangle \Rightarrow$$

aproximando a los 1eros términos $H_0 |0_n\rangle + H_0 \lambda |1_n\rangle + H_0 \lambda^2 |2_n\rangle + V \lambda |0_n\rangle + V \lambda^2 |1_n\rangle + \dots =$

$$E_n^0 |0_n\rangle + E_n^0 \lambda |1_n\rangle + E_n^0 \lambda^2 |2_n\rangle + E_n^1 \lambda |0_n\rangle + E_n^1 \lambda^2 |1_n\rangle + E_n^1 \lambda^3 |2_n\rangle + E_n^2 \lambda^2 |0_n\rangle$$

Ahora igualamos orden a orden y resulta:

$$\lambda^0 \quad H_0 |0_n\rangle = E_n^{(0)} |0_n\rangle$$

$$\lambda^1 \quad H_0 |1_n\rangle + V |0_n\rangle = E_n^{(0)} |1_n\rangle + E_n^{(0)} |0_n\rangle$$

$$\lambda^2 \quad H_0 |2_n\rangle + V |1_n\rangle = E_n^{(0)} |2_n\rangle + E_n^{(1)} |1_n\rangle + E_n^{(0)} |0_n\rangle$$

Pediremos una normalización a cada orden; y considerando $\langle 0_n | n(\lambda) \rangle \in \mathbb{R}$

$$(\langle 0_n | + \lambda \langle 1_n | + \lambda^2 \langle 2_n |) (|0_n\rangle + \lambda |1_n\rangle + \lambda^2 |2_n\rangle) =$$

$$\begin{array}{cccc} \langle 0_n | 0_n \rangle & + \lambda \langle 1_n | 0_n \rangle & + \lambda^2 \langle 2_n | 0_n \rangle & \\ | & | & | & \\ \lambda \langle 0_n | 1_n \rangle & + \lambda^2 \langle 1_n | 1_n \rangle & + \lambda^3 \langle 2_n | 1_n \rangle & \\ | & | & | & \\ \lambda^2 \langle 0_n | 2_n \rangle & + \lambda^3 \langle 1_n | 2_n \rangle & + \lambda^4 \langle 2_n | 2_n \rangle & \end{array}$$

$$\langle 0_n | 0_n \rangle = 1$$

$$= 1 \quad \underbrace{\langle 0_n | 0_n \rangle}_{\langle 0_n | 0_n \rangle} + \langle 1_n | 0_n \rangle + \langle 0_n | 1_n \rangle = 1 \quad \rightarrow \quad \langle 1_n | 0_n \rangle = -\langle 0_n | 1_n \rangle$$

$$\langle 0_n | 0_n \rangle + \langle 1_n | 0_n \rangle + \langle 0_n | 1_n \rangle + \langle 2_n | 0_n \rangle + \langle 1_n | 1_n \rangle + \langle 0_n | 2_n \rangle = 1$$

...

En un mismo autoestado (n) los órdenes diferentes (i) no son necesariamente ortogonales

• Resolución

A orden cero será:

$$(H_0 - E_n^0) |0_n\rangle = 0 \quad \text{y se define} \quad |0_n\rangle \equiv |\varphi_n\rangle$$

A orden uno tenemos:

$$(H_0 - E_n^0) |1_n\rangle + (V - E_n^1) |0_n\rangle = 0$$

$$\underbrace{\langle \varphi_n | H_0 - E_n^0 | 1_n \rangle}_{=0} + \langle \varphi_n | V - E_n^1 | 0_n \rangle = 0$$

$$\boxed{\langle \varphi_n | V | \varphi_n \rangle = E_n^{(1)}} \quad \begin{matrix} \text{Energía} \\ \geq \text{orden 1} \end{matrix}$$

$$E_n = E_n^{(0)} + \lambda \langle \varphi_n | V | \varphi_n \rangle$$

◀ Energía hasta orden uno

Veamos el autoestado a orden uno. Podemos poner (no hay degeneración)

$$|1_n\rangle = \sum_p \langle \varphi_p | 1_n \rangle |\varphi_p\rangle$$

Sea $p \neq n \rightarrow$

$$\langle \varphi_p | H_0 - E_n^0 | 1_n \rangle + \langle \varphi_p | V - E_n^{(1)} | \varphi_n \rangle = 0$$

$$(E_p^{(0)} - E_n^{(0)}) \langle \varphi_p | 1_n \rangle + \langle \varphi_p | V | \varphi_n \rangle = E_n^{(1)} \underbrace{\langle \varphi_p | \varphi_n \rangle}_{=0}$$

$$\boxed{\langle \varphi_p | 1_n \rangle = \frac{\langle \varphi_p | V | \varphi_n \rangle}{(E_n^{(0)} - E_p^{(0)})}}$$

Sea $p = n \rightarrow$

$$\langle \varphi_n | 1_n \rangle = \langle 0_n | 1_n \rangle = 0 \quad [\text{ya lo vimos antes, en la normalización}]$$

A un mismo orden (cero) diferentes autoestados son ortogonales

$$|n(\lambda)\rangle = |0_n\rangle + \sum_{p \neq n} \frac{\langle \varphi_p | V | \varphi_n \rangle}{(E_n^{(0)} - E_p^{(0)})} |\varphi_p\rangle$$

◀ autoestado hasta orden uno

A orden dos tenemos:

$$(H_0 - E_n^{(0)}) |2_n\rangle + (V - E_n^{(1)}) |1_n\rangle - E_n^{(2)} |0_n\rangle = 0$$

$$\underbrace{\langle \varphi_n | H_0 - E_n^{(0)} | 2_n \rangle}_{=0} + \langle \varphi_n | V - E_n^{(1)} | 1_n \rangle - \langle \varphi_n | E_n^{(2)} | 0_n \rangle = 0$$

$$\langle \varphi_n | V | 1_n \rangle = E_n^{(2)} \underbrace{\langle \varphi_n | 0_n \rangle}_{=0} + E_n^{(1)} \underbrace{\langle \varphi_n | 1_n \rangle}_{=0}$$

$$E_n^{(2)} = \langle \varphi_n | V | 1_n \rangle$$

$$E_n^{(2)} = \sum_{p \neq n} \frac{\langle \varphi_p | V | \varphi_n \rangle}{(E_n^{(0)} - E_p^{(0)})} \langle \varphi_n | V | \varphi_p \rangle$$

$$\boxed{E_n^{(2)} = \sum_{p \neq n} \frac{|\langle \varphi_p | V | \varphi_n \rangle|^2}{(E_n^{(0)} - E_p^{(0)})}}$$

energía a orden 2

Veamos el autoestado a orden dos.

$$|2_n\rangle = \sum_p (\langle \varphi_p | 2_n \rangle) |\varphi_p\rangle$$

sea $p \neq n$

$$\langle \varphi_p | H_0 - E_n^{(0)} | 2_n \rangle + \langle \varphi_p | V - E_n^{(1)} | 1_n \rangle = \langle \varphi_p | E_n^{(2)} | 0_n \rangle$$

$$(E_p^{(0)} - E_n^{(0)}) \langle \varphi_p | 2_n \rangle + \langle \varphi_p | V | 1_n \rangle - E_n^{(1)} \langle \varphi_p | 1_n \rangle = E_n^{(2)} \underbrace{\langle \varphi_p | 0_n \rangle}_{=0}$$

$$\langle \varphi_p | z_n \rangle = \frac{E_n^{(0)} \langle \varphi_p | 1_n \rangle}{(E_p^{(0)} - E_n^{(0)})} - \frac{\langle \varphi_p | V | 1_n \rangle}{(E_p^{(0)} - E_n^{(0)})}$$

$$\sum_k \frac{\langle \varphi_n | V | \varphi_n \rangle \langle \varphi_p | \varphi_k \rangle \langle \varphi_k | V | \varphi_n \rangle}{(E_p^{(0)} - E_n^{(0)})} + \frac{\langle \varphi_p | V \left(\sum_k \frac{\langle \varphi_k | V | \varphi_n \rangle \langle \varphi_k \rangle}{(E_n^{(0)} - E_k^{(0)})} \right) \right)}{(E_n^{(0)} - E_p^{(0)})}$$

$$\langle \varphi_p | z_n \rangle = \frac{\langle \varphi_n | V | \varphi_n \rangle \langle \varphi_p | V | \varphi_n \rangle}{(E_p^{(0)} - E_n^{(0)}) (E_n^{(0)} - E_p^{(0)})} + \sum_{k \neq n} \frac{\langle \varphi_p | V | \varphi_k \rangle \langle \varphi_k | V | \varphi_n \rangle}{(E_n^{(0)} - E_p^{(0)}) (E_n^{(0)} - E_k^{(0)})}$$

Sea $p=n$

$$\underbrace{\langle 0_n | 0_n \rangle}_1 + \underbrace{\langle 1_n | 0_n \rangle}_0 + \underbrace{\langle 0_n | 1_n \rangle}_0 + \langle 2_n | 0_n \rangle + \langle 1_n | 1_n \rangle + \langle 0_n | z_n \rangle = 1$$

$$\langle 2_n | 0_n \rangle + \langle 0_n | z_n \rangle = -\langle 1_n | 1_n \rangle$$

$$\langle 0_n | z_n \rangle = -\frac{1}{2} \langle 1_n | 1_n \rangle$$

$$-\frac{1}{2} \langle 1_n | 1_n \rangle = \sum_k -\frac{1}{2} \langle 1_n | 0_k \rangle \langle 0_k | 1_n \rangle$$

$$-\frac{1}{2} \langle 1_n | 1_n \rangle = -\frac{1}{2} \sum_{k \neq n} \frac{|\langle \varphi_k | V | \varphi_n \rangle|^2}{(E_n^{(0)} - E_k^{(0)})^2} = \langle 0_n | z_n \rangle$$

$$|z_n\rangle = \sum_{p \neq n} \left(-\frac{V_{pn} V_{pn}}{(E_p^{(0)} - E_n^{(0)})^2} \right) |\varphi_p\rangle + \sum_{p \neq n} \sum_{k \neq n} \frac{V_{pk} V_{kn}}{(E_n^{(0)} - E_p^{(0)}) (E_n^{(0)} - E_k^{(0)})} |\varphi_p\rangle - \frac{1}{2} \sum_p \sum_{k \neq n} \frac{|V_{pn}|^2}{(E_n^{(0)} - E_k^{(0)})^2} |\varphi_p\rangle$$

$$|n(\lambda)\rangle = |0_n\rangle + \sum_{p \neq n} \frac{V_{pn}}{\Delta E_{np}^{(0)}} |\varphi_p\rangle + |z_n\rangle \quad \text{Autoestado hasta orden dos}$$

$$E_n = E_n^{(0)} + \lambda \langle \varphi_n | V | \varphi_n \rangle + \lambda^2 \sum_{p \neq n} \frac{|\langle \varphi_p | V | \varphi_n \rangle|^2}{(E_n^{(0)} - E_p^{(0)})} \quad \text{Energía hasta orden dos}$$

Caso Degenerado

Sea que hay degeneración de orden g en el autoestado N (a orden cero)

$$H_0 |\varphi_N^k\rangle = E_N^{(0)} |\varphi_N^k\rangle \quad k=1, 2, \dots, g$$

Suponemos \exists cl: $|0_N^j\rangle = \sum_k a_{kj} |\varphi_N^k\rangle$

para escribir un estado degenerado en función de los otros.

$$(H_0 - E_N^{(0)}) |1_N^j\rangle + (V - E_N^{(0)j}) |0_N^j\rangle = 0$$

$$\underbrace{\langle 0_N^i | H_0 - E_N^{(0)} | 1_N^j \rangle}_{=0} + \langle 0_N^i | V - E_N^{(0)j} | 0_N^j \rangle = 0$$

$$\sum_k \langle 0_N^i | (V - E_N^{(0)j})(a_k^j) | \varphi_N^k \rangle = 0$$

$$\sum_k a_k^j \langle 0_N^i | V - E_N^{(0)j} | 0_N^k \rangle = 0$$

$$\sum_k a_k^j \langle 0_N^i | V | 0_N^k \rangle = \sum_k a_k^j \langle 0_N^i | E_N^{(0)j} | 0_N^k \rangle$$

$$\sum_k a_k^j \langle 0_N^i | V | 0_N^k \rangle = \sum_k a_k^j E_N^{(0)j} S_{ik}$$

$$\sum_k a_k^j \langle 0_N^i | V | 0_N^k \rangle = a_k^j E_N^{(0)j}$$

$$\sum_k \langle 0_N^i | V | 0_N^k \rangle a_k^j = E_N^{(0)j} a_k^j$$

Este último es una ecuación de autovalores y autovectores de la forma:

$$(V - E_N^{(0)j} \mathbb{1}) \vec{a} = 0 \rightarrow \det[V - E_N^{(0)j} \mathbb{1}] = 0$$

nos dará los comentarios de la energía al primer orden, y los autoestados $|1_N^j\rangle$ serán los autovectores del problema.

Efecto Stark

Sea un átomo de H con $|n, l, m\rangle$, sin spin, y con $n=2$. Será

$$0 \leq l < n \quad -l \leq m \leq l \Rightarrow l=0, 1 \quad m=-1, 0, 1$$

Tengo cuatro estados

$$\begin{bmatrix} |2, 0, 0\rangle \\ |2, 1, 1\rangle \\ |2, 1, 0\rangle \\ |2, 1, -1\rangle \end{bmatrix} \quad \text{todos con la misma energía } E_2$$

Metemos un campo eléctrico en $\hat{z} \Rightarrow V = -e\hat{z}|\vec{E}|$. Luego

$$\langle n'l'm' | V | nlm \rangle = (-e\hat{z}|\vec{E}|) \langle n'l'm' | z | nlm \rangle$$

\hat{z} es impar ante paridad \rightarrow
vincula estados de paridad diferente
 \Rightarrow diagonal nula

$$\Rightarrow \langle nlm | z | nlm \rangle = 0$$

$\langle n'l'm' | z | nlm \rangle = 0$ \leftarrow
con $m' \neq m \Rightarrow$ igual \hat{z} tienen la
misma paridad

$$\pi |2, l=1, m\rangle = -|2, l=1, m\rangle \quad \text{impares}$$

$$\pi |2, l=0, 0\rangle = |2, l=0, 0\rangle \quad \text{par}$$

Se tendrá:

$$|211\rangle |21-1\rangle |210\rangle |200\rangle$$

Solo hay un elemento no nulo correspondiente al producto par-impar.

Puedo diagonalizar y obtengo:

$$V = \begin{pmatrix} 0 & 0 & 0 & 0 \\ 0 & 0 & 0 & 0 \\ 0 & 0 & 0 & \gamma |\vec{E}| \\ 0 & 0 & \gamma |\vec{E}| & 0 \end{pmatrix}$$

$$V = \begin{pmatrix} 0 & 0 & 0 & 0 \\ 0 & 0 & 0 & 0 \\ \hline 0 & 0 & \gamma |\vec{E}| & 0 \\ 0 & 0 & 0 & \gamma |\vec{E}| \end{pmatrix}$$

En este caso no se rompe la degeneración por completo.

$$\begin{array}{c} |A\rangle = \frac{1}{\sqrt{2}} (|210\rangle + |200\rangle) \\ \text{deg=4} \quad \text{deg=2} \quad |2,1,\pm 1\rangle \\ |B\rangle = \frac{1}{\sqrt{2}} (|210\rangle - |200\rangle) \end{array}$$

- Comienzo de la energía a orden 2 (con degeneración)
Sea que a 1^{er} orden se rompe toda la degeneración.

$$(H_0 - E_N^{(0)}) |2_n^j\rangle + (V - E_N^{(1)j}) |1_n^j\rangle - E_N^{(2)j} |0_n^j\rangle = 0$$

Entonces la corrección a 2^{da} orden de la energía será:

$$\underbrace{\langle 0_n^j | H_0 - E_N^{(0)} | 2_n^j \rangle}_{=0} + \langle 0_n^j | V - E_N^{(1)j} | 1_n^j \rangle = E_N^{(2)j}$$

$$\boxed{\langle 0_n^j | V | 1_n^j \rangle = E_N^{(2)j}} \quad \text{pues } \langle 0_n^j | 1_n^j \rangle = 0$$

Pero

$$|1_n^j\rangle = \sum_{k \neq n} b_k^{(0)} |\varphi_k^i\rangle + \sum_i b_n^{(1)} |\varphi_n^i\rangle$$

$$\langle 0_n^j | 1_n^j \rangle = 0 = \sum_{k \neq n} b_k^i \langle 0_n^j | 0_k^i \rangle + \sum_i b_n^i \langle 0_n^j | 0_n^i \rangle$$

falto desarrollo

$$E_N^{(2)j} = \sum_{\substack{p \neq n \\ \text{parables}}} \frac{|\langle 0_n^j | V | 0_p^i \rangle|^2}{E_N^{(0)} - E_p^{(0)}}$$

donde
N es un estado
degenerado

■ Estructura fina del átomo de hidrógeno

La solución tradicional del átomo de H usa el potencial coulombiano. Esto desemboca en las funciones $|n, l, m\rangle$, sin embargo la introduc. de ajustes como "perturbaciones" rompe algo la degeneración.

$$H_0 = \frac{p^2}{2mr} - \frac{e^2}{r} \quad E_n = -\frac{\alpha^2 m_e c^2}{z n^2} \quad a_0 = \frac{h^2}{m_e c^2} \quad a_0 = \text{radio de Bohr}$$

$$\frac{V}{C} = \frac{P}{m_e} = \alpha = \frac{e^2}{h c} \approx \frac{1}{137} \quad \alpha = \text{constante de estructura fina.}$$

a) Corrección cinemática (Relativista)

$$E = C \sqrt{p^2 + m_e c^2} = m_e c^2 \sqrt{1 + \frac{p^2}{m_e c^2}} \approx m_e c^2 \left(1 + \frac{1}{2} \frac{p^2}{m_e c^2} + \frac{3}{8} \frac{p^4}{m_e^2 c^4} \right)$$

$$E \approx m_e c^2 + \frac{p^2}{2 m_e} + \boxed{\frac{3 p^4}{8 m_e^3 c^2}}$$

Esta corrección va como:

$\frac{W_{\text{cor}}}{W_0} \sim \alpha^2$
H.

b) Acoplamiento spin-orbita

Se puede pensar considerando un e^- en reposo con un protón orbitando que genera un \vec{B}_{eff}

$$W_{so} = \frac{e^2}{2m_e c^2} \frac{\vec{L} \cdot \vec{S}}{R^3}$$

La corrección va como:

$$\frac{W_{so}}{H_0} \approx \alpha^2$$

$$W_{so} = -\vec{\mu}_s \cdot \vec{B}_{\text{eff}}$$

c) Término de Darwin o de contacto

$$W_D = \frac{e^2}{8m_e c^2} \nabla^2 V(r)$$

va como

$$\frac{W_D}{H_0} \approx \alpha^2$$

Hay otras correcciones, hiperfinas, que provienen del spin del electrón y del spin del protón. Pero van como ($\alpha^2/2000$).

Si consideramos el sistema con $n=2$ $l=0$ $m_l = 1, 0, -1$ $m_s = \frac{1}{2}, -\frac{1}{2}$ serán 8 estados

$|n, l, m_l, m_s\rangle$ base desacoplada

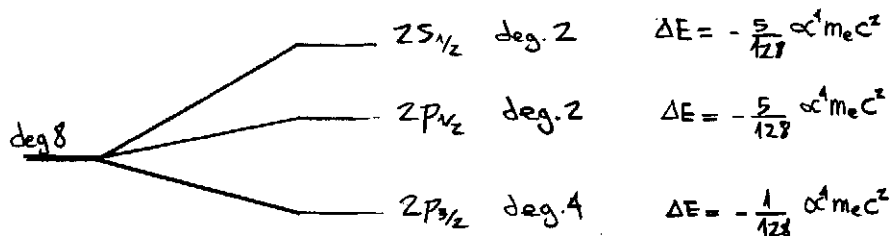
$$W = \underbrace{W_{mv}}_{\sim P^4} + \underbrace{W_{so}}_{\sim \vec{L} \cdot \vec{S}} + \underbrace{W_D}_{\sim |\vec{F}|} \Rightarrow$$

W es par ante $\Pi \Rightarrow$ solo habrá elementos de matriz $\neq 0$ que sean de misma paridad.

$$\begin{matrix} 2s & 2p \\ 2s & \left(\begin{matrix} (2 \times 2) \\ (6 \times 6) \end{matrix} \right) \\ 2p & \end{matrix}$$

$|2s\rangle$ es par $(l=0)$ $|2p\rangle$ es impar ($l=1$)
 $\Rightarrow |2s\rangle, |2p\rangle$ no están conectados

Entonces hay 8 estados $|n=2, l, m_l, s, m_s\rangle$ que al calcular esta perturbación W resultan



El cálculo para las correcciones hiperfinas no concide la experiencia. Se necesita aquí mecánica cuántica relativista. Los dos primeros niveles tienen misma ΔE porque en MCR se ve que:

$$E = E(n, j)$$

, es decir que no depende directamente de l, s .

■ Notas Métodos Perturbativos

$$H_0 = \begin{pmatrix} E_1 & E_2 & & \\ & E_2 & E_3 & \\ & & E_3 & E_4 \\ & & & E_4 \end{pmatrix} \xrightarrow{} V = \begin{pmatrix} V_{11} & & & \\ & V_{22} & & \\ & & V_{33} & \\ & & & V_{44} \end{pmatrix}$$

bloque de energías degeneradas en el H_0

se diagonalizará el bloque correspondiente en la matriz del V perturbativo

■ Picture de Interacción & Perturbación dependiente del tiempo

Pueden estudiarse perturbaciones dependientes del tiempo.

$$H = H_0 + V(t)$$

$$H|n\rangle = E_n |n\rangle$$

con $|n\rangle$ no dependen del tiempo

Se estudiarán transiciones entre autoestados del H_0 (que son estacionarios). Un autoestado permanece en el tiempo como tal pero con fase oscilante.

$$\begin{aligned} |\alpha, t_0, t\rangle_s &= e^{-i\frac{H}{\hbar}(t-t_0)} |\alpha, t_0\rangle_s \\ &= e^{-i\frac{H_0}{\hbar}(t-t_0)} e^{-i\frac{V(t)}{\hbar}(t-t_0)} |\alpha, t_0\rangle_s \\ &= \sum_n e^{-i\frac{E_n}{\hbar}t} e^{-i\frac{V(t)}{\hbar}t} |n\rangle \langle n| |\alpha, t_0\rangle_s \quad t_0 \equiv 0 \\ |\alpha, t_0, t\rangle_s &= \sum_n e^{-i\frac{E_n}{\hbar}t} |n\rangle e^{-i\frac{V}{\hbar}t} \langle n| |\alpha, t_0\rangle_s \end{aligned}$$

$$e^{iH_0 t / \hbar} |\alpha, t_0, t\rangle_s = \sum_n \underbrace{\left[e^{-i\frac{V}{\hbar}t} \langle n| |\alpha, t_0\rangle_s \right]}_{\equiv C_n(t)} |n\rangle = |\alpha, t_0, t\rangle_I$$

$$|\alpha, t_0, t\rangle_I = e^{iH_0 t / \hbar} |\alpha, t_0, t\rangle_s$$

Aquí se puede pensar que

$C_n(t)$ evoluciona por $V(t)$

$e^{-i\frac{E_n}{\hbar}t} |n\rangle$ evoluciona por H_0

Esto introduce la "picture" de interacción de Dirac; en la cual los estados evolucionan con $V(t)$.

	Dirac	Schrödinger	Heisenberg
estados $ \alpha\rangle$	evolucionan con $V(t)$	evolucionan con H	fijos
operadores	evolucionan con H_0	fijos	evolucionan con H
base $ \alpha'\rangle$	fijos	fijos	evolucionan

$$i\hbar \frac{d}{dt} |\alpha, t_0, t\rangle_s = H |\alpha, t_0, t\rangle_s$$

$$i\hbar \frac{d}{dt} \left(e^{-iH_0 t / \hbar} |\alpha, t_0, t\rangle_I \right) = H e^{-iH_0 t / \hbar} |\alpha, t_0, t\rangle_I$$

$$\cancel{- (i\hbar) \left(i\frac{H_0}{\hbar} \right) e^{-iH_0 t / \hbar} |\alpha, t_0, t\rangle_I} + i\hbar e^{-iH_0 t / \hbar} \cancel{\frac{d}{dt} |\alpha, t_0, t\rangle_I}$$

$$H_0 e^{-iH_0 t / \hbar} |\alpha, t_0, t\rangle_I + V(t) e^{-iH_0 t / \hbar} |\alpha, t_0, t\rangle_I$$

$$i\hbar e^{-iH_0 t / \hbar} \frac{d}{dt} |\alpha, t_0, t\rangle_I = V(t) e^{-iH_0 t / \hbar} |\alpha, t_0, t\rangle_I$$

Ecuación de evolución de kets

$$i\hbar \frac{d}{dt} |\alpha, t_0, t\rangle_I = V(t) |\alpha, t_0, t\rangle_I$$

Pediremos asimismo $\langle \hat{A}_s | = \langle \hat{A}_I |$

$$\langle \alpha, t_0, t | \hat{A}_I |\alpha, t_0, t\rangle_I = \langle \alpha, t_0, t | e^{-iH_0 t / \hbar} A_I e^{iH_0 t / \hbar} |\alpha, t_0, t\rangle_s = \langle \alpha, t_0, t | A_s |\alpha, t_0, t\rangle_s$$

$$\text{Los operadores evolucionan} \rightarrow \hat{A}_I = e^{iH_0 t / \hbar} \hat{A}_s e^{-iH_0 t / \hbar}$$

$$\frac{d\hat{A}_I}{dt} = \frac{1}{i\hbar} [\hat{A}_I, \hat{H}_0]$$

← igual que la ecuación de Heisenberg pero con \hat{A}_s en lugar de H

los kets base permanecen fijos, porque así lo hacen en Schrödinger; entonces:

$$|n, t_0, t\rangle_s = e^{-iHt/\hbar} |n, t_0\rangle_s \quad \text{en realidad oscila su fase}$$

$$|n, t_0, t\rangle_x = e^{iH_0 t/\hbar} (e^{-iHt/\hbar} |n, t_0\rangle_s) = e^{-iVt/\hbar} |n, t_0\rangle_s = e^{iH_0 t/\hbar} e^{-iHt/\hbar} |n, t_0, t\rangle_s$$

- Evolución de los coeficientes

$$|\alpha, t_0, t\rangle_I = \sum_n |n\rangle \langle n| |\alpha, t_0, t\rangle_x = \sum_n c_n(t) |n\rangle$$

$$c_n(t) = e^{-iVt/\hbar} \langle n| |\alpha, t_0\rangle_s$$

$$\langle m | \alpha, t_0, t\rangle_I = c_m(t) \quad \text{con } |n\rangle, |m\rangle \text{ autoestados de } H_0$$

Le pego un $\langle n|$
a la ecuación de
evolución de kets.

$$i\hbar \frac{d}{dt} \langle n| |\alpha, t_0, t\rangle_x = \langle n| V_x(t) |\alpha, t_0, t\rangle_I$$

$$= \sum_m \langle n| V_x(t) |m\rangle \langle m| |\alpha, t_0, t\rangle_I$$

$$i\hbar \frac{d}{dt} c_n(t) = \sum_m c_m(t) \cdot \langle n| V_x(t) |m\rangle$$

$$i\hbar \frac{d}{dt} [c_n(t)] = \sum_m c_m(t) \cdot \langle n| V_x(t) |m\rangle \cdot e^{\frac{i\hbar}{\hbar} (E_n - E_m)}$$

$$i\hbar \frac{d}{dt} c_n(t) = \sum_m V_{nm}(t) \cdot e^{i\omega_{nm} t} \cdot c_m(t)$$

Esto es la ecuación que cumplen los coeficientes,
donde $|c_n(t)|^2$ es la probabilidad de
hallar al sistema en el autoestado $|n\rangle$

$$\text{con } V_{nm}(t) \equiv \langle n| V(t) |m\rangle$$

$$\omega_{nm} \equiv \frac{E_n - E_m}{\hbar}$$

Esto puede ser de difícil resolución

$$i\hbar \begin{pmatrix} \dot{c}_1 \\ \dot{c}_2 \\ \vdots \\ \dot{c}_N \end{pmatrix} = \begin{pmatrix} V_{11} & V_{12} e^{i\omega_{12} t} & & \\ V_{21} e^{i\omega_{12} t} & V_{22} & \ddots & \\ & & & \ddots \end{pmatrix} \begin{pmatrix} c_1 \\ c_2 \\ \vdots \\ c_N \end{pmatrix}$$

- Método Perturbativo (dependiente del tiempo)

Pensaremos en una serie perturbativa.

$$C_n(t) = C_n^{(0)}(t) + C_n^{(1)}(t) + C_n^{(2)}(t) + \dots$$

El evolucionador temporal en la picture de interacción cumple:

$$|\alpha, t_0, t\rangle_I = U_I(t, t_0) |\alpha, t_0\rangle_I$$

que viene de

$$i\hbar \frac{d}{dt} U_I(t, t_0) = V_I(t) \cdot U_I(t, t_0)$$

$$\text{con } U(t_0, t_0) = \mathbb{1}$$

resolviendo llegamos a

$$U_I(t, t_0) = \mathbb{1} - \frac{i}{\hbar} \int_{t_0}^t V_I(t') U_I(t', t_0) dt'$$

Esto lleva a la serie de Dyson:

$$U_I(t, t_0) = \mathbb{1} - \frac{i}{\hbar} \int V_I(t') dt' + \left(\frac{-i}{\hbar}\right)^2 \int_{t_0}^t \int_{t'}^{t''} V_I(t') dt'' dt' + \dots$$

$$+ \left(\frac{-i}{\hbar}\right)^n \int_{t_0}^t \int_{t'}^{t''} \int_{t'''}^{t''''} \dots \int_{t_{n-1}}^{t_n} V_I(t') V_I(t'') \dots V_I(t^n).$$

• Transiciones entre autoestados del hamiltoniano H_0

$$\langle i, t_0=0, t \rangle_I = U_I(t, 0) |i\rangle = \sum_n |n\rangle \langle n| U_I(t) |i\rangle$$

y si lo vemos antes

$$|i, t \rangle_I = \sum_n c_n(t) |n\rangle = \sum_n (\langle n| U_I(t) |i\rangle) |n\rangle$$

La amplitud de transición será:

$$C_n(t) = \langle n| U_I(t) |i\rangle \rightarrow \text{con } |i\rangle, |n\rangle \text{ autoestados de } H_0$$

Sea $\tilde{C}_n(t) = \langle n| U_S(t) |i\rangle \rightarrow \text{consigamos una expresión}$

$$\begin{aligned} |\alpha, t_0, t\rangle_s &= e^{iH_0 t/k} |\alpha, t_0, t\rangle_I \\ &= e^{iH_0 t/k} U_S(t, t_0) |\alpha, t_0\rangle_I \\ |\alpha, t_0, t\rangle_I &= e^{iH_0 t/k} U_S(t, t_0) e^{-iH_0 t_0/k} |\alpha, t_0\rangle_I = U_I(t, t_0) |\alpha, t_0\rangle_I \end{aligned}$$

Notar que \hat{U} no obedece la ley de transformación de operadores

$$e^{iH_0 t/k} \hat{U}_S e^{-iH_0 t_0/k} = \hat{U}_I$$

$$C_n(t) = \langle n| e^{iH_0 t/k} U_S(t, t_0) e^{-iH_0 t_0/k} |i\rangle$$

$$\tilde{C}_n(t) = e^{+\frac{i}{\hbar}(E_n^{(0)} t - E_i^{(0)} t_0)} \langle n| U_S(t, t_0) |i\rangle$$

$$C_n(t) = e^{+\frac{i}{\hbar}[E_n^{(0)} t - E_i^{(0)} t_0]} \tilde{C}_n(t) \rightarrow$$

$$|C_n(t)|^2 = |\tilde{C}_n(t)|^2$$

Para transiciones entre autoestados del H_0 los coeficientes dan la misma probabilidad (evaluados con el evolucionador de Dirac que con el de Schrödinger).

Veamos las transiciones a los tres

orden 0:

$$C_n^{(0)}(t) = \langle n| 1 |i\rangle = \delta_{ni}$$

$$V_{ni} \equiv \langle n| V(t) |i\rangle$$

orden 1:

$$C_n^{(1)}(t) = -\frac{i}{\hbar} \int_{t_0}^t e^{i(W_n - E_i)t'} V_{ni}(t') dt'$$

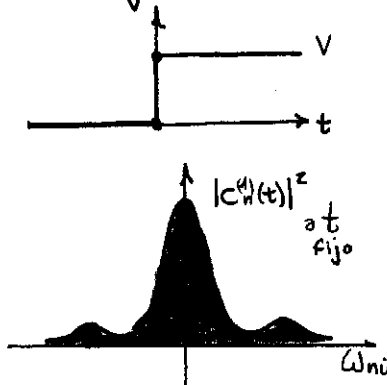
orden 2:

$$C_n^{(2)}(t) = \sum_m \left(-\frac{i}{\hbar}\right)^2 \int_0^t \int_0^{t'} \int_0^{t''} e^{i\frac{t'}{\hbar}(E_n - E_m)} V_{nm}(t') e^{i\frac{t''}{\hbar}(E_m - E_i)} V_{mi}(t'')$$

$$P_{i \rightarrow n}^{(z)} = |C_n^{(0)}(t) + C_n^{(1)}(t) + C_n^{(2)}(t)|^2$$

Probabilidad de ir desde $|i\rangle \rightarrow |n\rangle$ hasta orden 2

- Ejemplo: Potencial constante encendido abruptamente
Notemos que $V \neq V(t)$. Dependerá de cualquier otra cosa.



$$C_n(0) = 0$$

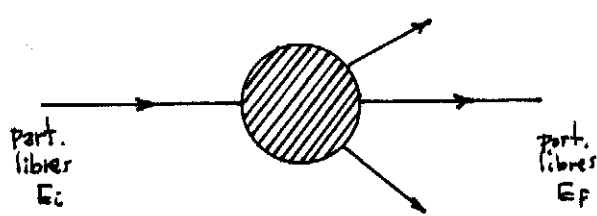
$$C_n^{(1)}(t) = -\frac{i}{\hbar} \int_0^t e^{\frac{i}{\hbar}(E_n - E_i)t'} V_{ni} dt' = \frac{|V_{ni}|}{(E_n - E_i)} (1 - e^{-i\omega_{ni}t})$$

$$|C_n^{(1)}(t)|^2 = \frac{4|V_{ni}|^2}{(E_n - E_i)^2} \sin^2\left(\frac{(E_n - E_i)t}{2\hbar}\right) \quad [1]$$

Es máxima la probabilidad cuando la $\Delta E \rightarrow 0$. En ese caso las transiciones son a estados de la misma energía. A tiempo largo la prob. es nula para aquellos estados $t \approx \frac{2\pi}{\omega_{ni}}$. Hay probabilidad de transición ($i \rightarrow n$) apreciable con $\Delta E \approx 0$.

■ Scattering: Orden 1

Este último ejemplo puede aplicarse a colisiones elásticas. Prendemos y apagamos un potencial que es el masacote al cual impactamos partículas libres. Entonces $E_n - E_i \approx 0$ y consideraremos lo que sucede a tiempos largos. Interesaría la prob. total de transicionar a estados de energías similares a E_i . Por ello se considera:



$$\sum_n |C_n^{(1)}|^2 \Rightarrow \int_{E_i}^{E_i + \Delta E} dE_n \rho(E_n) |C_n^{(1)}|^2$$

de estados dentro de un intervalo de energías ($E, E + \Delta E$)

En tiempos muy largos la expresión [1] tiende a una delta de Dirac y se integra fácil

$$\lim_{t \rightarrow \infty} \int dE_n \rho(E_n) |C_n^{(1)}(t)|^2 = \left(\frac{2\pi}{\hbar} \right) |\overline{V_{ni}}|^2 \rho(E_n) t \Big|_{E_n \approx E_i}$$

La probabilidad de transición es proporcional a t . Se suele definir una tasa de transición (prob. de transición por unidad de tiempo).

$$\frac{d}{dt} \left(\sum_{E_n \approx E_i} |C_n^{(1)}|^2 \right) = \frac{2\pi}{\hbar} |\overline{V_{ni}}|^2 \rho(E_i) = \omega_{i \rightarrow n}^{(1)}$$

con $E_n \approx E_i$

Regla de Oro de Fermi

■ El Método Variacional

Se puede usar para aproximar la energía del estado fundamental. (el estado de energía mínima)

$$\begin{aligned} \langle \Psi | H | \Psi \rangle &= \sum_{n,m} \langle \Psi | n \rangle \langle n | H | m \rangle \langle m | \Psi \rangle = \sum_{n,m} E_n \langle \Psi | n \rangle \langle n | m \rangle \langle m | \Psi \rangle = \sum_{n,m} E_n C_n^* \langle n | m \rangle C_m \\ &= \sum_n E_n |C_n|^2 \geq \sum_n E_0 |C_n|^2 = E_0 \sum_n |C_n|^2 = E_0 \langle \Psi_n | \Psi_n \rangle \end{aligned}$$

Usamos

$$\langle \Psi \rangle = \sum_n \langle \Psi | n \rangle |n\rangle$$

$$\langle \Psi | = \sum_n \langle \Psi | n \rangle |n\rangle$$

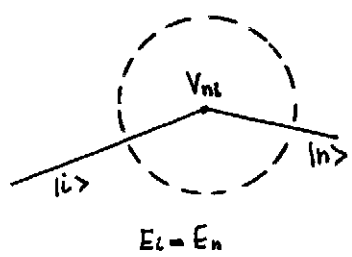
$$\frac{\langle \Psi_n | H | \Psi_n \rangle}{\langle \Psi_n | \Psi_n \rangle} \geq E_0$$

■ Scattering: Orden 2 y OFPT

Continuando con el orden 2º de scattering por un $V \neq V(t)$ se tiene:

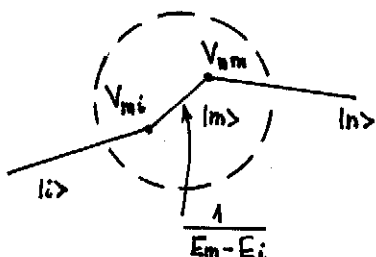
$$\omega_{i \rightarrow n}^{(2)} = \frac{2\pi}{\hbar} \left[V_{ni} + \sum_{m \neq i} \frac{V_{nm} V_{mo}}{E_i - E_m} \right]^2 \rho(E_n) \Big|_{E_n \approx E_i}$$

Para obtener los siguientes términos dentro del $\frac{1}{t^2}$ podemos emplear un antiguo gráfico conocido como Old Fashioned Perturbation Theory.



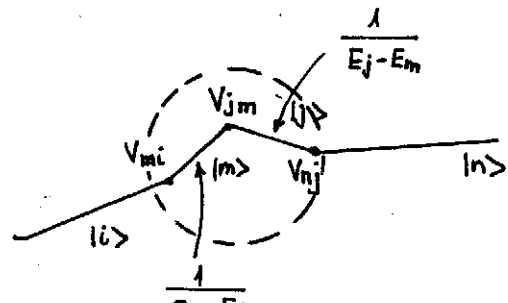
no hay propagador

$$V_{ni}$$



un propagador $|m\rangle$

$$\sum_{m \neq i} \frac{(V_{ni} V_{nm})}{E_m - E_i}$$



dos propagadores $|m\rangle, |j\rangle$

$$\sum_{m \neq i} \frac{(V_{ni} V_{im})(V_{jm} V_{mj})}{E_m - E_i} \frac{1}{E_j - E_m}$$

Fíjese que en los estados intermedios estados virtuales $|m\rangle, |j\rangle$ no se conserva la energía. Son propagadores.

Perturbación Armónica

Sea un potencial armónico y hermítico

$$V(t) = V \cdot e^{i\omega t} + V^+ \cdot e^{-i\omega t}, \quad V \neq V(t)$$

Otro ver prob. de transición a orden 1.

$$C_n^1(t) = -\frac{i}{\hbar} \int_0^t (V_{ni} e^{i\omega t'} + V_{ni}^+ e^{-i\omega t'}) \cdot e^{i(\omega_n t') \cdot dt'}$$

$$\begin{aligned} C_n^1(t) &= -\frac{i}{\hbar} \left[V_{ni} \int_0^t e^{i(t'(\omega + \omega_n))} dt' + V_{ni}^+ \int_0^t e^{i(t'(-\omega + \omega_n))} dt' \right] \\ &= -\frac{i}{\hbar} \left[V_{ni} \left(\frac{e^{it(\omega_n + \omega)} - 1}{i(\omega_n + \omega)} \right) + V_{ni}^+ \left(\frac{e^{it(\omega_n - \omega)} - 1}{i(\omega_n - \omega)} \right) \right] \end{aligned}$$

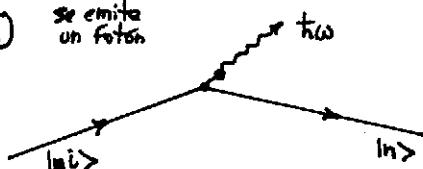
$$C_n^1(t) = \frac{V_{ni}}{\hbar} \left(\frac{1 - e^{it(\omega_n + \omega)}}{\omega_n + \omega} \right) + \frac{V_{ni}^+}{\hbar} \left(\frac{1 - e^{it(\omega_n - \omega)}}{\omega_n - \omega} \right)$$

$$\lim_{t \rightarrow \infty} C_n^1(t) = \frac{1}{\hbar} [V_{ni} \cdot \delta(\omega_n + \omega) + V_{ni}^+ \cdot \delta(\omega_n - \omega)]$$

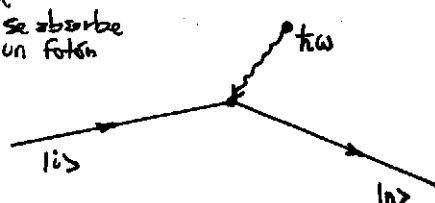
Luego será no nulo sólo si $\omega_n = \omega \rightarrow \frac{E_n - E_i}{\hbar} = \omega \rightarrow E_n = E_i + \hbar\omega$ ①

$\omega_n = \omega \rightarrow \frac{E_n - E_i}{\hbar} = \omega \rightarrow E_n = E_i - \hbar\omega$ ②

① se emite un fotón



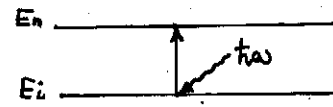
② se absorbe un fotón



Luego $\lim_{t \rightarrow \infty} C_n^1(t)$ representa la probabilidad de emitir o absorber fotones en una interacción. Se puede asociar V crea fotones y V^+ destruye fotones. Para un átomo se tiene:



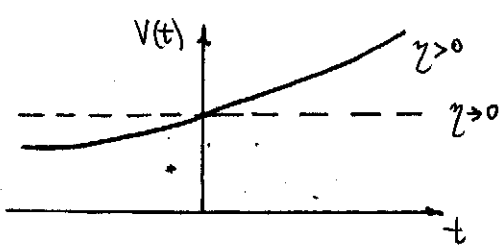
$$\omega = \frac{E_n - E_i}{\hbar} \rightarrow \text{emisión}$$



$$\omega = \frac{E_n - E_i}{\hbar} \rightarrow \text{absorción}$$

■ Despoblamiento de Estados Iniciales

Queremos ver con cuál \tilde{V} se desplazan los $|k\rangle$. Para ello me construyo un potencial "suave"



$$\lim_{\gamma \rightarrow 0} V(t) = e^{\gamma t} \cdot V, \quad V \text{ constante}$$

γ será un parámetro regularizador.

$$C_n^{(1)}(t) = \lim_{t \rightarrow \infty} -\frac{i}{\hbar} \int_{t_0}^t V_{ni} e^{\gamma t'} e^{i\omega_{ni} t'} dt'$$

$$C_n^{(1)}(t) = -\frac{i}{\hbar} V_{ni} \frac{e^{\gamma t + i\omega_{ni} t}}{\gamma + i\omega_{ni}}$$

$$|C_n^{(1)}(t)|^2 = \frac{|V_{ni}|^2}{\hbar^2} \frac{e^{2\gamma t}}{\gamma^2 + \omega_{ni}^2}$$

$$\frac{d}{dt} |C_n^{(1)}(t)|^2 = \left(2\gamma \frac{|V_{ni}|^2}{\hbar^2} \frac{e^{2\gamma t}}{\gamma^2 + \omega_{ni}^2} \right)$$

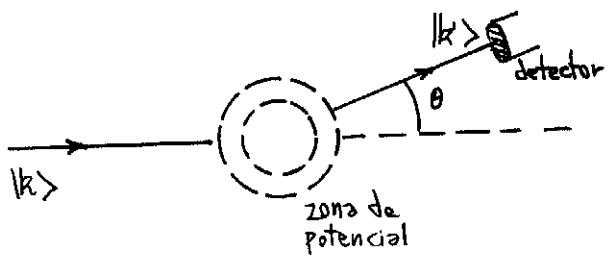
Tomando el límite será $\gamma \rightarrow 0$

$$= \frac{2|V_{ni}|^2}{\hbar^2} \cdot \frac{\gamma}{\gamma^2 + \omega_{ni}^2} = \begin{cases} 0 & \text{si } \omega_{ni} \neq 0 \\ \infty & \text{si } \omega_{ni} = 0 \end{cases}$$

Llegamos a la regla de oro de Fermi.

$$\boxed{\frac{d}{dt} |C_n^{(1)}(t)|^2 = \frac{2|V_{ni}|^2}{\hbar^2} \delta(\omega_{ni}) \pi}$$

● Scattering [sección Eficaz]



$|k\rangle, |\vec{k}'\rangle$ son autoestados de momento. (Partículas libres)

$|\vec{k}| = |\vec{k}'|$
se conserva la energía. Consideraremos la aproximación más baja (aproximación de Born).

$$\omega_{E \rightarrow E'} = \int \frac{2\pi}{\hbar} \delta(E - E') |\langle \vec{k}' | V | \vec{k} \rangle|^2 \rho(E') dE'$$

Queremos calcular la densidad de estados de energía entre $(E, E + dE)$. Pensamos en una partícula libre en una caja 1D de longitud L .

$$N_x e^{i \frac{k_x x}{\hbar}} ; \text{ con } k_x = \frac{2\pi}{L} n_x$$

Pidiendo normalización unitaria $\langle k | k' \rangle = 1$ se tiene:

$$\frac{e^{i \frac{k_x x}{\hbar}}}{\sqrt{L}}$$

Con $L \rightarrow \infty$; n_x, k_x son continuas

$$dk_x = \frac{2\pi}{L} dn_x \Rightarrow \boxed{dn_x = \frac{L}{2\pi} dk_x}$$

$$E = \frac{\hbar^2 k^2}{2m} = \frac{\hbar^2}{2m} \left(\frac{2\pi}{L}\right)^2 n^2 \rightarrow n^2 = \frac{L^2}{(2\pi)^2} \frac{\hbar^2}{m} =$$

$$dn = \frac{L}{2\pi} dk, \quad \boxed{dE = \frac{\hbar^2}{m} \cdot k \cdot dk} \quad \Rightarrow \quad dn = \frac{L \cdot m}{2\pi \cdot \hbar^2 k} dE$$

$$\boxed{n^2 \cdot dn \cdot d\Omega = \left(\frac{L}{2\pi}\right)^3 \frac{m \cdot k}{\hbar^2} dE d\Omega}$$

donde $n^2 \cdot dn \cdot d\Omega$ es la densidad de estados de energía $(E, E+dE)$ en $d\Omega$

$$n^2 \cdot dn \cdot d\Omega = \rho(E') \cdot dE'$$

Con esto sale la integral obteniéndose:

$$\omega_{\vec{k}-\vec{k}'} = \frac{L^3}{(2\pi)^2 k^3} \frac{m}{\hbar^3} |\langle \vec{k}' | V | \vec{k} \rangle|^2 k' \cdot d\Omega$$

Esta es la probabilidad de transición entre los impulsos \vec{k}, \vec{k}' . Es # de partículas en la unidad de tiempo por unidad de área.

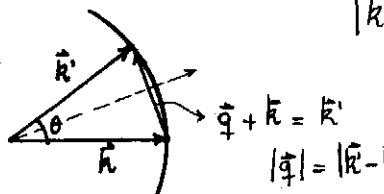
$$\text{sección eficaz} = \frac{d\sigma}{d\Omega} \cdot d\Omega = \frac{\# \text{ part. en } d\Omega}{\# \text{ part. incidentes en la unidad de t por unidad de área}}$$

Un elemento de matriz $\langle \vec{k}' | V | \vec{k} \rangle$ será:

$$\langle \vec{k}' | V | \vec{k} \rangle = \int d\vec{x}' \langle \vec{k}' | \vec{x}' \rangle \langle \vec{x}' | V | \vec{k} \rangle = \int d\vec{x}' \frac{1}{L^3} e^{i(\vec{k}'-\vec{k}) \cdot \vec{x}'} \cdot V(\vec{x}')$$

La transformada de Fourier del potencial es, además de constantes, la amplitud a 1^{er} orden

$$|\vec{k}' - \vec{k}| = 2k \cdot \sin(\theta/2) \quad \text{con } k = k'$$



$$|q| = |\vec{k}' - \vec{k}| = 2k \cdot \sin(\theta/2)$$

Entonces para cualquier potencial esféricamente simétrico se puede hacer la integral

$$\frac{d\sigma}{d\Omega} = \left| \left(\frac{Zm}{4\pi\hbar^2} \right)^2 \int d^3x' V(x) e^{i(\vec{k}'-\vec{k}) \cdot \vec{x}'} \right|^2$$

↓
Expresamos todo en función de $q = q(\theta)$

$$\frac{d\sigma}{d\Omega} = \left| -\frac{Zm}{\hbar^2} \cdot \frac{1}{q} \int_0^\infty r V(r) \cdot \sin(q) \cdot dr \right|^2$$

Utilizando un potencial de Yukawa[†] primero y tomando el límite para llegar al de Coulomb tenemos la sección eficaz de Rutherford

$$\frac{d\sigma}{d\Omega} = \frac{Z^2 e^4}{\hbar^4} \cdot \frac{1}{16 k^4 \cdot \sin^4(\theta/2)}$$

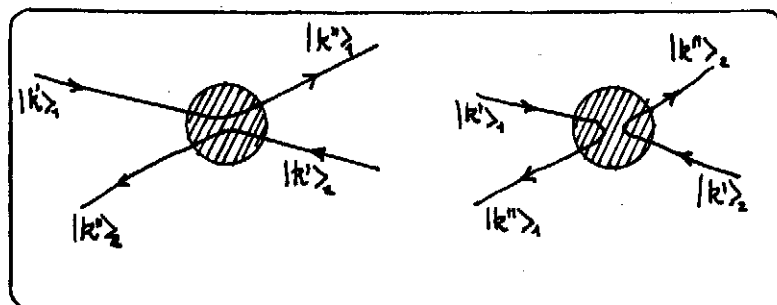
[†] Hay que tomar el pot. de Yukawa y luego el límite porque el de Coulomb diverge de entrada.

■ Partículas Idénticas

Más apropiado sería partículas indistinguibles. Si en algún punto del espacio se solapan las funciones de onda (interfieren) de dos partículas del mismo tipo (dos e^- por ejemplo) no podremos distinguir cuál es cuál. Sean dos estados $|k'\rangle_1, |k''\rangle_2$ con k' índice colectivo. En la zona de interferencia es:

$$|k'\rangle_1 \otimes |k''\rangle_2 \quad \text{ó}$$

$$|k''\rangle_1 \otimes |k'\rangle_2$$



Caso de que tengan misma masa, carga, etc.
donde ambos estados son ortogonales.
Entonces un estado general será:

$$|K\rangle = c_1 |k'\rangle_1 \otimes |k''\rangle_2 + c_2 |k''\rangle_1 \otimes |k'\rangle_2$$

con $|c_1|^2 + |c_2|^2 = 1$

Este es la "degeneración de intercambio"

• Permutación

Definimos este operador como:

$$P_{12} (|k'\rangle_1 \otimes |k''\rangle_2) = |k''\rangle_1 \otimes |k'\rangle_2$$

$$P_{12} = P_{21} \quad P_{12}^2 = \mathbb{1} \quad P_{12}^+ = P_{12} \quad P_{12} P_{12}^+ = 1 \quad \text{autr. } \pm 1$$

Su función es la de intercambiar etiquetas, No el orden de las partículas.

Sean operadores \hat{A}_1, \hat{A}_2 que actúan sobre las partículas 1, 2; es decir

$$\hat{A}_1 = \hat{A}_1 \otimes \mathbb{1}_2, \quad \hat{A}_2 = \mathbb{1}_1 \otimes \hat{A}_2$$

$$\hat{A}_1 |a'\rangle |a''\rangle = a' |a'\rangle |a''\rangle$$

$$\hat{A}_2 |a'\rangle |a''\rangle = a'' |a'\rangle |a''\rangle$$

$$P_{12} A_1 P_{12}^{-1} P_{12} |a'\rangle |a''\rangle = P_{12} a' |a'\rangle |a''\rangle_2 = a' |a''\rangle_1 |a'\rangle_2$$

$$P_{12} A_1 P_{12}^{-1} |a''\rangle_1 |a'\rangle_2 = a' |a''\rangle_1 |a'\rangle_2$$

$$A_2 |a''\rangle_1 |a'\rangle_2 = a' |a''\rangle_1 |a'\rangle_2 \Rightarrow$$

$$P_{12} \hat{A}_1 P_{12}^{-1} = \hat{A}_2$$

$$\rightarrow P_{12} A_1 - A_2 P_{12} = 0$$

Luego \hat{A} es simétrico si: $[\hat{P}_{12}, \hat{A}_{12}] = 0$

Sea $[\hat{P}_{12}, \hat{H}] = 0 \rightarrow$ es P_{12} constante de movimiento y $P_{12} |\alpha\rangle = \pm |\alpha\rangle$

$$\text{Sea } H = \frac{\hat{P}_1^2}{2m_1} + \frac{\hat{P}_2^2}{2m_2} + V(x_1 - x_2) + V_e(\hat{x}_1) + V_e(\hat{x}_2) \rightarrow P_{12} H =$$

$m_1 = m_2 \equiv m$ si las partículas son idénticas

Defino dos estados:

$$|k' k''\rangle_s = \frac{1}{\sqrt{2}} (|k'\rangle_1 |k''\rangle_2 + |k''\rangle_1 |k'\rangle_2)$$

$$|k' k''\rangle_a = \frac{1}{\sqrt{2}} (|k'\rangle_1 |k''\rangle_2 - |k''\rangle_1 |k'\rangle_2)$$

$$\text{con } \begin{cases} P_{12} |>_s = + |>_s \\ P_{12} |>_a = - |>_a \end{cases}$$

Puedo introducir operadores de simetrización y antisimetrización

$$\begin{aligned}\hat{S}_{12} &\equiv \frac{1}{\sqrt{2}} (\mathbb{1} + \hat{P}_{12}) \\ \hat{A}_{12} &\equiv \frac{1}{\sqrt{2}} (\mathbb{1} - \hat{P}_{12})\end{aligned}$$

$$S^2 = S, A^2 = A$$

$$SA = AS = 0$$

$$[S, A] = 0$$

$$\hat{S}_{12} (c_1 |k'\rangle |k''\rangle + c_2 |k''\rangle |k'\rangle) = \frac{1}{\sqrt{2}} (c_1 + c_2) (|k'\rangle |k''\rangle + |k''\rangle |k'\rangle) \quad \text{es simétricas}$$

$$\hat{A}_{12} (c_1 |k'\rangle |k''\rangle + c_2 |k''\rangle |k'\rangle) = \frac{1}{\sqrt{2}} (c_1 - c_2) (|k'\rangle |k''\rangle - |k''\rangle |k'\rangle) \quad \text{es antisimétricas}$$

En general se complica bastante con más de dos partículas.

$$P_{ij} (|k'_1\rangle |k''_2\rangle \dots |k'_i\rangle \dots |k''_j\rangle \dots) = (|k'_1\rangle |k''_2\rangle \dots |k''_j\rangle \dots |k'_i\rangle)$$

pues tenemos:

$$[P_{ij}, P_{kl}] \neq 0 \quad \text{en general}$$

Las permutaciones para tres partículas pueden descomponerse:

$$P_{123} = P_{12} P_{13} \rightarrow \begin{aligned}P_{123} |k'\rangle |k''\rangle |k'''\rangle &= \\ P_{12} |k''\rangle |k'''\rangle |k'\rangle &= \\ |k''\rangle |k'''\rangle |k'\rangle &\end{aligned}$$

Con 3 partículas hay $3!$ estados:

$$\begin{cases} 1 \text{ totalmente simétricas} \\ 1 \text{ totalmente antisimétricas} \\ 4 \text{ sin simetría definida} \end{cases} \quad | \rangle_s \quad | \rangle_a$$

Estos estados simétricos serán:

$$|k' k'' k'''\rangle_s = \frac{1}{\sqrt{6}} (|k' k'' k'''\rangle + |k'' k''' k'\rangle + |k''' k' k''\rangle \\ \pm |k'' k' k'''\rangle \pm |k' k''' k''\rangle \pm |k''' k'' k'\rangle)$$

donde el $| \rangle_a$ tiene el signo $(-)$ en las permutaciones anticíclicas y el $(+)$ en las cíclicas

$$|\psi\rangle_a = \frac{1}{\sqrt{3!}} \begin{vmatrix} |k'\rangle & |k''\rangle & |k'''\rangle \\ |k'\rangle & |k''\rangle & |k'''\rangle \\ |k'\rangle & |k''\rangle & |k'''\rangle \end{vmatrix}$$

Existe un determinante de Slater como método mnemotécnico de obtener los estados $| \rangle_a$.

La obtención de estos estados corresponde a aplicar:

$$A_{123} = \frac{1}{\sqrt{3!}} (\mathbb{1} + P_{231} + P_{312} - P_{213} - P_{132} - P_{321})$$

$$(\mathbb{1} + P_{23} P_{21} + P_{31} P_{32} - P_{21} P_{23} - P_{13} P_{12} - P_{32} P_{31})$$

Si dos $k^{(i)}$ coinciden ya no hay estado antisimétrico posible.

■ Postulado de Simetrización

Permitirá romper la degeneración de intercambio. Postulamos que toda partícula es de uno de dos tipos de simetría a su simetría.

Sistemas de N partículas idénticas	fórmula de onda simétrica	Estadística Bose-Einstein	spin entero
	$\Psi_{ij} N \text{ bosones}\rangle = + N \text{ bosones}\rangle$		
	fórmula de onda antisimétrica	Estadística Fermi-Dirac	spin semientero
	$\Psi_{ij} N \text{ fermiones}\rangle = - N \text{ fermiones}\rangle$		

En la naturaleza no ocurren simetrías mixtas.

• Principio de Exclusión de Pauli

Para fermiones superponemos sistema de 2 partículas idénticas:

$$|\Psi\rangle_A = \frac{1}{\sqrt{2}} (|k'\rangle_1 |k''\rangle_2 - |k''\rangle_1 |k'\rangle_2) \Rightarrow \text{si } [k' = k''] \Rightarrow |\Psi\rangle_A = 0$$

No es posible tener dos fermiones con iguales # cuánticos. Por el contrario los bosones sí pueden tener iguales # cuánticos.

• Sistema de dos e- de spin 1/2

Sistemas de dos electrones con spin 1/2. Son fermiones. Sea que $[\hat{H}, \hat{S}] = 0$ con $\hat{S} = \hat{S}_1 + \hat{S}_2$. Se tendrá:

$$|\Psi\rangle^{\text{sist}} = |\Psi\rangle^{\text{spa}} \otimes |\Psi\rangle^{\text{spin}}$$

Como $|\Psi\rangle^{\text{sist}}$ es simétrica tendremos:

$$P_{12} |\Psi\rangle^{\text{sist}} = - |\Psi\rangle^{\text{sist}}$$

$$P_{12} |\Psi\rangle^{\text{sist}} = P_{12} |\Psi\rangle^{\text{spa}} \otimes P_{12} |\Psi\rangle^{\text{spin}}$$

Pero para dos e- con spin 1/2 se tiene

$$\begin{aligned} & \left. \begin{aligned} & | \uparrow \uparrow \rangle \\ & | \downarrow \downarrow \rangle \\ & \frac{1}{\sqrt{2}} (| \uparrow \downarrow \rangle + | \downarrow \uparrow \rangle) \\ & \frac{1}{\sqrt{2}} (| \uparrow \downarrow \rangle - | \downarrow \uparrow \rangle) \end{aligned} \right] \quad \begin{array}{l} \text{triplete} \\ S=1 \end{array} \quad \begin{array}{l} \text{estados} \\ \text{simétricos} \end{array} \quad \begin{array}{l} j_1 + j_2 \Rightarrow \\ 0 \leq j_1 \leq 1 \\ 0 \leq j_2 \leq 1 \end{array} \quad \Rightarrow \quad 0 \leq S \leq 1 \\ & \left. \begin{aligned} & | \uparrow \downarrow \rangle \\ & | \downarrow \uparrow \rangle \end{aligned} \right] \quad \begin{array}{l} \text{singlete} \\ S=0 \end{array} \quad \begin{array}{l} \text{estado} \\ \text{antisimétrico} \end{array} \quad \begin{array}{l} (m_1, S) j_1 \\ (m_2, S) j_2 \end{array} \quad \begin{array}{l} |m_{z_1}| \leq S_1 \\ |m_{z_2}| \leq S_2 \end{array} \end{aligned}$$

Entonces $\begin{cases} S=0 \Rightarrow |\Psi\rangle^{\text{spa}} \text{ es simétrica} \\ S=1 \Rightarrow |\Psi\rangle^{\text{spa}} \text{ es antisimétrica} \end{cases}$

Vistos desde el CM de los dos electrones $P_{12} = \pi \Rightarrow P_{12} |nlm\rangle = (-1)^l |nlm\rangle$

$$l \text{ par} \rightarrow |\Psi\rangle^{\text{spa}} = P_{12} |\Psi\rangle^{\text{spa}}$$

$$l \text{ impar} \rightarrow -|\Psi\rangle^{\text{spa}} = P_{12} |\Psi\rangle^{\text{spa}}$$

Necesitaré l par con $S=0 \rightarrow l+s=j$ par
l impar con $S=1 \rightarrow l+s=j$ par

Dos e- solo se aceptan a momento total j par

Sean los siguientes estados

$$|\Psi\rangle_s = \frac{1}{\sqrt{2}} (|k'\rangle |k''\rangle \pm |k''\rangle |k'\rangle)$$

$$|\Psi_F\rangle_s = \frac{1}{\sqrt{2}} (|a'\rangle |a''\rangle \pm |a''\rangle |a'\rangle)$$

$$\begin{aligned}
 \text{Prob.} &= \left| \int_{\mathbb{R}} \langle \Psi_F | \Psi \rangle_{\mathbb{R}} \right|^2 = \left| \frac{1}{2} (\langle a' | a'' \rangle \pm \langle a'' | a' \rangle) (\langle k' | k'' \rangle \pm \langle k'' | k' \rangle) \right|^2 \\
 &= \frac{1}{4} \left| \langle a' | a'' | k' \rangle \langle k'' | \pm \langle a'' | a' | k' \rangle \langle k'' | \pm \langle a' | a'' | k'' \rangle \langle k' | \right. \\
 &\quad \left. + \langle a'' | a' | k'' \rangle \langle k' | \right|^2 \\
 &= \frac{1}{4} \left| \langle a' | k' \rangle \langle a'' | k'' \rangle \pm 2 \langle a' | k' \rangle \langle a'' | k'' \rangle \right|^2 \\
 &= \left| \underbrace{\langle a' | k' \rangle \langle a'' | k'' \rangle}_{\text{término directo}} \pm \underbrace{\langle a'' | k' \rangle \langle a' | k'' \rangle}_{\text{término de intercambio}} \right|^2
 \end{aligned}$$

$\text{Prob.} = \left| \int_{\mathbb{R}} \langle \Psi_F | \Psi \rangle_{\mathbb{R}} \right|^2 = \left| \langle a' | k' \rangle \langle a'' | k'' \rangle \right|^2 + \left| \langle a'' | k' \rangle \langle a' | k'' \rangle \right|^2$
 $\pm 2 \operatorname{Re} \left(\underbrace{\langle a' | k' \rangle \langle a' | k'' \rangle^*}_{\text{interferencia}} \langle a'' | k'' \rangle \langle a'' | k' \rangle^* \right)$

Vemos que aparece una interferencia que será importante solamente si hay solapamiento. En el caso de no solaparse o con partículas clásicas solo el primer término es de importancia.

■ EL Átomo de Helio

$$\begin{aligned}
 H &= \frac{P_1}{2m} + \frac{P_2}{2m} - \frac{2e^2}{r_1} - \frac{2e^2}{r_2} + \underbrace{\frac{e^2}{r_{12}}}_{\approx 0} ; \text{ en este último caso } H \text{ está desacoplado} \\
 \vec{e}_1 &\quad \vec{e}_2 \\
 \vec{r}_{12} & \\
 \Psi &= \Psi_1 \otimes \Psi_2 \\
 S \text{ constante de movimiento} & \quad [H, S] = 0 \quad S = \vec{s}_1 + \vec{s}_2 = \begin{cases} 0 \\ 1 \end{cases} \\
 \text{Para la } |\Psi_{\text{spin}}\rangle & \quad \begin{array}{ll} S=0: & \frac{|\uparrow\downarrow\rangle - |\downarrow\uparrow\rangle}{\sqrt{2}} \\ & \text{singlete} \\ S=1: & \frac{|\uparrow\uparrow\rangle + |\downarrow\downarrow\rangle}{\sqrt{2}} \end{array} \\
 \text{Sea } \begin{cases} \vec{e}_1 |100\rangle \\ \vec{e}_2 |nlm\rangle \end{cases} & \rightarrow \quad \text{triplete} \\
 |\Psi\rangle_{He} &= \frac{1}{\sqrt{2}} (|100\rangle |nlm\rangle \pm |nlm\rangle |100\rangle) . |\Psi_{\text{spin}}\rangle \\
 \text{Si } S=0 \longrightarrow |\Psi\rangle_{He} &= \frac{1}{\sqrt{2}} (+ \langle \Psi_F [|\uparrow\downarrow\rangle - |\downarrow\uparrow\rangle]) \\
 \text{Si } S=1 \longrightarrow |\Psi\rangle_{He} &= \frac{1}{\sqrt{2}} (- \langle \Psi_F [|\uparrow\uparrow\rangle] \\
 &\quad \langle \Psi_F [|\downarrow\downarrow\rangle] \\
 &\quad \langle \Psi_F [|\uparrow\downarrow\rangle + |\downarrow\uparrow\rangle])
 \end{aligned}$$

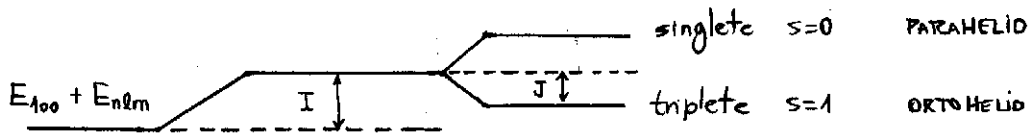
Podemos pensar en teoría de perturbaciones ahora y calcular:

$$\begin{aligned}
 E_{He} &= E_{100} + E_{nlm} + \Delta E \\
 \text{Lo considero} &\quad \Delta E = \langle \Psi | \frac{e}{r_{12}} | \Psi \rangle \\
 \text{una perturbación}
 \end{aligned}$$

$$\Delta E = \left\langle \psi^{\text{spin}} \right| \frac{1}{2} \left(\langle 100 | nlm | \pm \langle nlm | 100 \rangle \right) \frac{e^2}{r_{12}} \left(| 100 \rangle | nlm \rangle \pm | nlm \rangle | 100 \rangle \right) | \psi^{\text{spin}} \rangle$$

$$\Delta E = \underbrace{\langle 100 | nlm | \frac{e^2}{r_{12}} | 100 \rangle | nlm \rangle}_{= I} \pm \underbrace{\langle nlm | 100 | \frac{e^2}{r_{12}} | 100 \rangle | nlm \rangle}_{= J}$$

$$\Delta E = I \pm J$$



Esta separación de los niveles en $\pm J$ se debe al carácter de Fermión de las partículas.

■ Introducción a la Mecánica Cuántica Relativista

Consideremos una partícula libre por el momento.

$H = \frac{p^2}{2m}$ [1]	$E = i\hbar \frac{\partial}{\partial t}$ [2]	$\vec{p} = -i\hbar \vec{\nabla}$ [3]
--------------------------	--	--------------------------------------

$$P_\mu = i\hbar \partial_\mu = i\hbar \frac{\partial}{\partial x^\mu}$$

$$P^\mu = \left(\frac{E}{c}, \vec{P} \right)$$

$$P_\mu = \left(\frac{E}{c}, -\vec{P} \right) \quad \frac{\partial}{\partial x^\mu} = \left(\frac{1}{c} \frac{\partial}{\partial t}, \vec{\nabla} \right) \equiv \partial_\mu$$

$$X^\mu = (ct, \vec{x}) \quad \frac{\partial}{\partial x_\mu} = \left(\frac{1}{c} \frac{\partial}{\partial t}, -\vec{\nabla} \right) \equiv \partial^\mu$$

En relatividad [1] no sirve, pero si lo hacen [2] y [3]

[4]	$i\hbar \frac{\partial \Psi}{\partial t} = -\frac{\hbar^2}{2m} \nabla^2 \Psi$	Schrödinger para partícula libre
-----	---	----------------------------------

$$\Psi^*(4) = i\hbar \Psi^* \frac{\partial \Psi}{\partial t} = -\frac{\hbar^2}{2m} \Psi^* \nabla^2 \Psi$$

$$\Psi \cdot (4)^* = -i\hbar \Psi \frac{\partial \Psi^*}{\partial t} = -\frac{\hbar^2}{2m} \Psi \nabla^2 \Psi^*$$

$$i\hbar \Psi^* \partial_t \Psi + \Psi \partial_t \Psi^* = \frac{\hbar^2}{2m} (\Psi^* \nabla^2 \Psi + \Psi \nabla^2 \Psi^*)$$

$$i\hbar \frac{\partial}{\partial t} (\Psi^* \Psi) + \frac{\hbar^2}{2m} \vec{\nabla} \cdot (\Psi^* \vec{\nabla} \Psi - \Psi \vec{\nabla} \Psi^*) = 0$$

$$\frac{\partial}{\partial t} (\Psi^* \Psi) + \vec{\nabla} \cdot \left(\frac{\hbar}{2m} [\Psi^* \vec{\nabla} \Psi - \Psi \vec{\nabla} \Psi^*] \right) = 0$$

Una analogía de la conservación de la carga en electrodinámica

$$\frac{\partial}{\partial t} (\rho) + \vec{\nabla} \cdot (\vec{j}) = 0$$

Tenemos una especie de conservación de la probabilidad. Note que $\Psi^* \Psi = |\Psi|^2 \geq 0$.

$$E^2 = c^2 p^2 + m^2 c^4$$

$$E = \sqrt{c^2 p^2 + m^2 c^4} = H \quad \text{con} \quad H\Psi = E\Psi$$

Pero esto se pone muy complicado debido a la raíz.

• La ecuación de Klein Gordon

Conserva el cuadrado para no complicar demasiado los reemplazos. Entonces:

$$H^2 = E^2 = C^2 p^2 + m^2 c^4 \rightarrow$$

$$-\frac{\hbar^2}{c^2} \frac{\partial^2 \psi}{\partial t^2} = -\hbar^2 c^2 \nabla^2 \psi + m^2 c^4 \psi \quad [1]$$

[1]

Ecuación de Klein-Gordon

$$P^\mu P_\mu = m^2 c^2$$

$$-\partial_\mu \partial^\mu \psi = \frac{m^2 c^2}{\hbar^2} \psi$$

$$\left(\nabla^2 + \frac{m^2 c^2}{\hbar^2} \right) \psi = 0 \quad \text{El D'Alembertiano}$$

$$\psi^* [1] = -\hbar^2 \psi^* \partial_t^2 \psi = -\hbar^2 c^2 \psi^* \nabla^2 \psi + m^2 c^4 \psi^* \psi$$

$$\underline{\psi [1]^*} = \underline{-\hbar^2 \psi \partial_t^2 \psi^*} = -\hbar^2 c^2 \psi \nabla^2 \psi^* + m^2 c^4 \psi \psi^*$$

$$\hbar^2 \frac{\partial}{\partial t} (\psi^* \partial_t \psi - \psi \partial_t \psi^*) = \hbar^2 c^2 \vec{\nabla} \cdot (\psi^* \vec{\nabla} \psi - \psi \vec{\nabla} \psi^*)$$

$$\frac{\partial}{\partial t} \left(\frac{i}{c^2} [\psi^* \partial_t \psi - \psi \partial_t \psi^*] \right) + \vec{\nabla} \cdot (\psi \vec{\nabla} \psi^* - \psi^* \vec{\nabla} \psi) = 0$$

$$= i \rho ?$$

El problema es que no puede asegurarse que esta ρ sea definida positiva; lo cual sería necesario para seguir una cohärenza.

$$\psi = U e^{i \frac{E}{\hbar} (\vec{p} \cdot \vec{x} - Et)}$$

$$\partial_t \psi = -U E \frac{i}{\hbar} e^{i \frac{E}{\hbar} (\vec{p} \cdot \vec{x} - Et)}$$

$$\rho = \frac{i}{c^2} \left(U^* e^{-i \frac{E}{\hbar} (\vec{p} \cdot \vec{x} - Et)} (-U) E i \frac{1}{\hbar} e^{i \frac{E}{\hbar} (\vec{p} \cdot \vec{x} - Et)} - U e^{i \frac{E}{\hbar} (\vec{p} \cdot \vec{x} - Et)} + U E \frac{i}{\hbar} e^{-i \frac{E}{\hbar} (\vec{p} \cdot \vec{x} - Et)} \right)$$

$$\rho = \frac{i}{c^2} \left(|U|^2 E i + |U|^2 E i \right) = -\frac{|U|^2}{\hbar c^2} 2E < 0 \quad \text{si } E > 0 \quad \text{para una onda plana}$$

Necesito considerar $E < 0$ pues $E = \pm \sqrt{C^2 p^2 + m^2 c^4}$ y la base debe ser completa.

Es positiva si tuviese $E < 0$ pero esto causa el problema de tener materia inestable, pues nunca se alcanza el fundamental. Así muere en este atolladero la ecuación de Klein-Gordon.

• La Ecuación de Dirac

Dirac pide de pedir una ecuación lineal en el impulso \vec{p}

$$H = C \vec{\alpha} \cdot \vec{p} + \beta m c^2$$

con $\beta, \vec{\alpha}, \vec{p}$ operadores

usando

$$\begin{cases} H \psi = E \psi \\ H^2 = E^2 = C^2 p^2 + m^2 c^4 \end{cases}$$

$$H^2 = (c \vec{\alpha} \cdot \vec{p} + \rho m c^2)(c \vec{\alpha} \cdot \vec{p} + \beta m c^2)$$

$$H^2 = c^2 \alpha_i p_i \alpha_i p_i + c^3 \alpha_i p_i \beta m + \beta m c^3 \alpha_i p_i + \rho^2 m^2 c^4$$

$$H^2 = c^2 \underbrace{\alpha_i \alpha_i p_i p_i}_{=0} + c^3 m p_i (\underbrace{\alpha_i \beta + \beta \alpha_i}_{=0}) + \rho^2 m^2 c^4$$

$$H^2 = c^2 \underbrace{\left(\frac{\alpha_i \alpha_i + \alpha_i \alpha_i}{2} \right)}_{= \delta il} p_i p_i + m^2 c^4 \underbrace{\rho^2}_{=1}$$

$$\alpha_i \alpha_i + \alpha_i \alpha_i = 2 \delta il$$

$$\alpha_i \beta + \beta \alpha_i = 0$$

$$\rho^2 = 1$$

Como se ve, estos no pueden ser simples escalares. Dirac pide:

- $\vec{\alpha}, \beta$ hermíticos
- $\rho^2 = 1 \quad \alpha^2 = 1 \Rightarrow$ autovalores ± 1
- traza nula

$$\alpha_i \beta = -\beta \alpha_i \rightarrow \beta \alpha_i \beta = -\beta^2 \alpha_i = -\alpha_i$$

$$\text{Tr}(\alpha_i) = -\text{Tr}(\beta \alpha_i \beta) = -\text{Tr}(\beta \beta \alpha_i)$$

- dimensión par

$$\vec{\alpha} = \begin{pmatrix} 0 & \vec{\sigma} \\ \vec{\sigma} & 0 \end{pmatrix} \quad \beta = \begin{pmatrix} \mathbb{I} & 0 \\ 0 & -\mathbb{I} \end{pmatrix}$$

donde cada elemento de la matriz pertenece a 2×2

$$\stackrel{\leftrightarrow}{H} \vec{\Psi} = i\hbar \frac{\partial}{\partial t} \vec{\Psi} \quad , \quad \stackrel{\leftrightarrow}{H} \in 4 \times 4 \quad , \quad \vec{\Psi} = \begin{pmatrix} \psi_1 \\ \psi_2 \\ \psi_3 \\ \psi_4 \end{pmatrix}$$

$$i\hbar \frac{\partial \Psi}{\partial t} = -i\hbar c \sum_k \alpha_k \frac{\partial \Psi}{\partial x_k} + m c^2 \beta \Psi \quad [1]$$

$$-i\hbar \frac{\partial \Psi^+}{\partial t} = i\hbar c \sum_k \frac{\partial \Psi^+}{\partial x_k} \alpha_k + m c^2 \Psi^+ \beta \quad [2]$$

$$\Psi^+ [1] - [3]^+ \Psi \Rightarrow i\hbar \frac{\partial}{\partial t} (\Psi^+ \Psi) = -i\hbar c \sum_k \frac{\partial}{\partial x_k} (\Psi^+ \alpha_k \Psi)$$

$$\frac{\partial}{\partial t} (\Psi^+ \Psi) + c \sum_k \frac{\partial}{\partial x_k} (\Psi^+ \alpha_k \Psi) = 0$$

$$\Psi^+ \Psi = \rho$$

Ahora tenemos una densidad de probabilidad como requiere la naturaleza

■ Ejemplo: Partícula libre quieta

Sea una partícula libre en reposo $\vec{P} = 0$ $H = \beta mc^2$

$$i\hbar \frac{\partial \Psi}{\partial t} = \beta mc^2 \Psi$$

$$i\hbar \frac{\partial}{\partial t} \begin{pmatrix} \Psi_1 \\ \Psi_2 \\ \Psi_3 \\ \Psi_4 \end{pmatrix} = \begin{pmatrix} mc^2 & 0 & 0 & 0 \\ 0 & mc^2 & 0 & 0 \\ 0 & 0 & -mc^2 & 0 \\ 0 & 0 & 0 & -mc^2 \end{pmatrix} \begin{pmatrix} \Psi_1 \\ \Psi_2 \\ \Psi_3 \\ \Psi_4 \end{pmatrix}$$

$$i\hbar \frac{\partial \Psi_i}{\partial t} = mc^2 \Psi_i$$

$$i\hbar \frac{\partial \Psi_i}{\partial t} = -mc^2 \Psi_i$$

Tenemos cuatro ecuaciones, dos con energía positiva y dos con energía negativa.

$$\Psi_1 = e^{-imc^2 t/\hbar} \begin{pmatrix} 1 \\ 0 \\ 0 \\ 0 \end{pmatrix}$$

$$\Psi_3 = e^{imc^2 t/\hbar} \begin{pmatrix} 0 \\ 0 \\ 1 \\ 0 \end{pmatrix}$$

Como aún tenemos degeneración de orden dos, necesitaremos un operador que commute con el H .

$$\vec{\Sigma} = \begin{pmatrix} \vec{\sigma} & 0 \\ 0 & \vec{\sigma} \end{pmatrix} \quad [H, \vec{\Sigma}] = 0$$

$$\Sigma_3 = \begin{pmatrix} \sigma_3 & 0 \\ 0 & \sigma_3 \end{pmatrix} = \begin{pmatrix} 1 & 0 \\ 0 & -1 \end{pmatrix} \Rightarrow$$

$$\begin{array}{ll} \Psi_1: & E = mc^2 \quad \Sigma_3 = 1 \\ \Psi_2: & E = mc^2 \quad \Sigma_3 = -1 \\ \Psi_3: & E = -mc^2 \quad \Sigma_3 = 1 \\ \Psi_4: & E = -mc^2 \quad \Sigma_3 = -1 \end{array}$$

Podemos identificar $\hat{S} = \frac{\hbar}{2} \vec{\Sigma}$

$$\text{Si } \vec{P} \neq 0 \Rightarrow [H, \vec{\Sigma}] = 2ic \vec{\alpha} \times \vec{P}$$

■ Energías Negativas

Como $E = \pm \sqrt{c^2 p^2 + m^2 c^4}$ hay $E < 0$ y, además, un "gap" de ancho $2mc^2$ entre ellas.

Las $E < 0$ hacen que la materia jamás alcance un estado fundamental y por ende jamás se estabilice.

Dirac piensa que los estados de $E < 0$ están todos llenos. No decaen más e^- allí adentro. Es el mar de Dirac.

Iluminando ese vacío se lo puede excitar.

Podemos hacer saltar a la zona positiva una carga ($-e$) dejando un hueco positivo (=una carga $+e$)

Es una creación de pares $\gamma \rightarrow e^- e^+$.

Sin embargo el proceso inverso $e^- e^+ \rightarrow \gamma$ de aniquilación de pares ocurre rápidamente.

Se observó experimentalmente.

